

ماگماتیسم کلسیمی-قلیایی پلیو-کواترنر آذربایجان(شمال باختر ایران) و مقایسه آن با ماگماتیسم مشابه در خاور ترکیه

نوشته: نصیر عامل^{*}، محسن مؤید^{*}، علی عامری^{*}، منصور وثوقی عابدینی^{*}، محمد هاشم امامی^{***} و محسن مؤذن^{*}

*گروه زمین شناسی دانشکده علوم طبیعی دانشگاه تبریز، تبریز، ایران

**دانشکده علوم زمین دانشگاه شهید بهشتی، تهران، ایران

***پژوهشکده علوم زمین، سازمان زمین شناسی و اکتشافات معدنی کشور، تهران، ایران

The Plio-Quaternary Calc-Alkaline Magmatism in Azerbaijan (NW Iran) and Comparison with Similar Magmatism in Eastern Turkey

By: N. Amel*, M. Moayyed*, A. Ameri*, M. Vosoghi Abedini**, M.H. Emami*** & M. Moazzen*

*Faculty of Natural Sciences, Department of Geology, University of Tabriz, Tabriz, Iran.

**Faculty of Earth Sciences, University of Shahid-Beheshti, Tehran, Iran.

***Research Institute of the Earth Sciences, Geological Survey of Iran, Tehran, Iran

تاریخ دریافت: ۱۳۸۶/۰۲/۰۹ تاریخ پذیرش: ۱۳۸۶/۱۰/۲۴

چکیده

ماگماتیسم کلسیمی-قلیایی با سن پلیو-کواترنری در منطقه آذربایجان و شمال باختر ایران به شکل‌های گوناگون از جمله آتشفسان چینه‌ای، گند و روانه‌های آتشفسانی ظاهر شده و شامل آتشفسانی-آواری‌ها، بازلت‌های آندزیتی، آندزیت، داسیت، ریوداسیت و رویولیت است. این مجموعه آتشفسانی با مرز دگرشیب بر روی واحدهای رسوبی با سن میوسن قرار دارد. بررسی ترکیب شیمیایی سنگ‌های حد وسط تا اسید نشان می‌دهد که ماگماهای تشکیل دهنده سنگ‌های یاد شده کلسیمی-قلیایی است و با نسبت $1 \text{ K}_2\text{O} / \text{Na}_2\text{O}$ مشخص می‌شود و در محلوده ماگماهای پتانسیم متوسط و متاآلومینوس قرار می‌گیرند. این سنگ‌ها غنی شدگی در LILE و U و تهی شدگی در عناصر Y, Nb و HREE نشان می‌دهند. الگوی عناصر خاکی کمیاب این سنگ‌ها به شدت تغیریق یافته است و فاقد بی‌هنجاری منفی Eu است. محیط زمین‌ساختی این سنگ‌ها در محدوده کمان‌های ماگمایی پس برخورده و کمان‌های حاشیه قاره‌ای فعال قرار می‌گیرد. ادامه همگرایی صفحه‌های عربستان و اوراسیا پس از برخورد در اوخر میو-پلیوسن به اوج خود رسیده و سبب ستبرشدگی، کوتاه شدگی و فراخاست قابل توجه پوسته در شمال باختر ایران و خاور ترکیه شده و فلات مرفوع ایران-ترکیه را به وجود آورده است. در اثر به هم خوردن و آشفتگی در ترازهای حرارتی و فراخاست، گوشته سست کره‌ای دچار ذوب بخشی با آهنگ کم، با حضور گارنت در بازمانده شده است و ماگماهای بازی قلیایی تشکیل شده است. صعود ماگماهای بازی داغ و استقرار آن در پوسته سبب توسعه ذوب بخشی در این ناحیه شده و ماگماهای اسیدی تشکیل شده است. این ویژگی باعث شده است که ابتدا ماگماهای اسید از ذوب پوسته و محصولات پرتتابی آن خارج شده و سپس ماگماهای بازی قلیایی فوران کند، لذا وجود سری‌های معکوس آتشفسانی که در آن واحدهای بازالتی قلیایی اولیوین دار در بالا و سنگ‌های حد وسط تا اسیدی در زیر قرار گرفته‌اند، از علائم فعالیت آتشفسانی دونمایی (بایمودال) در پلیو-کواترنر آذربایجان است. ماگماهای هیرید حاصل از آمیختگی ماگماهای اسیدی با منشأ پوسته‌ای و بازی با منشأ گوشته مولد سنگ‌های حد وسط بوده است. ویژگی‌های شیمیایی دو ماگما با هم متفاوت بوده و یکی از آنها خاصیت کلسیمی-قلیایی داشته و دیگری قلیایی-بازی است. در تحول ماگماهای سنگ‌های آتشفسانی پلیو-کواترنر آذربایجان فرایندهای (AFC) نیز مؤثر بوده است و این مسئله با شواهد کانی شناسی و نمودارهای تغییرات عناصر اصلی و جزئی قابل درک است. مقایسه شواهد زمین‌ساختی و ویژگی‌های زمین‌شیمیایی واحدهای آتشفسانی شمال باختر ایران و خاور ترکیه در پلیو-کواترنر نشان می‌دهد که سیر تحولی یکسانی در تکوین ماگماهای این مناطق وجود داشته است.

کلید واژه‌ها: ماگماتیسم، کلسیمی-قلیایی، پلیو-کواترنر، آذربایجان، آتشفسانی دونمایی



Abstract

The Plio-Quaternary calc-alkaline magmatism in Azerbaijan, northwest Iran, occurs as stratovolcanoes, lava flows and domes consisting of andesitic basalts, andesites, dacites, rhyodacites, and pyroclastic materials. The volcanic rocks unconformably cover the Miocene sedimentary formations. The chemistry of the felsic-intermediate volcanic rocks indicates that the parent magmas are medium-K calc-alkaline and metaluminous in nature, and are distinguished by $\text{Na}_2\text{O}/\text{K}_2\text{O} > 1$. The volcanic rocks are enriched in LILE and LREE, and depleted in Y, Nb, and HREE, and display highly fractionated REE patterns, with no Eu anomaly. They display post-collision and continental margin arcs affinities. The post collision convergence between Arabia and Eurasia continental plates, starting in Miocene, resulted in significant shortening, thickening, and uplift of the crust in northwestern Iran and eastern Turkey, and shaped the present Iran-Turkey Plateau.

The thermal perturbation processes in the underlying asthenospheric mantle led to partial melting at a low degree, producing alkali- basalt magmas, with garnet remaining stable in the source region. The ascent of the basaltic magma and its emplacement in the lower crust resulted in the partial melting of the crustal materials and development of acidic magma. These processes led to the ascent and eruption of the felsic magmas prior to the mafic magmas. Mixing of mantle-derived mafic magmas with felsic magmas of crustal origin, produced hybrid magmas of intermediate composition. The occurrence of inverted volcanic sequences, where olivine-alkaline basalts are underlain by calc-alkaline felsic-intermediate rocks, are typical features of bimodal volcanic activities in the Plio-Quaternary times in Azerbaijan.

There are mineralogical as well as geochemical evidences that AFC-type processes were involved in the evolution of the Plio-Quaternary volcanic rocks in Azerbaijan. A comparison of geological and geochemical characteristics of the Plio-Quaternary volcanic rocks from northwest Iran with those from eastern Turkey indicates that the two areas share similar evolution paths in the petrogenesis of magmatic rocks.

Key words: Magmatism, Calc-alkaline, Plio-Quaternary, Azerbaijan, Bimodal Volcanism

مقدمه

دور جدیدی از فعالیت‌های آتشفشاری در این منطقه به وقوع پیوسته است که احتمالاً سنی در حدود ۱۲ میلیون سال تا کواترنری (۲/۸) میلیون سال را دارد (Keskin et al., 1998). در این مقاله ویژگی‌های زمین‌شیمیایی (ژئوشیمی) سنگ‌ها و سیر تحولات سنگ‌زادی (پتروژنتیکی) ماگما در ارتباط با نواحی فورانش و برخورد برسی می‌شود و ابستگی سنگ‌های آندزیتی و اسیدی با مناطق فورانش و فراوانی این سنگ‌ها و نظریه‌های مختلف در ارتباط با پیدایش آنها بحث خواهد شد. همچنین الگوها و مدل‌های ارائه شده برای خاور آناتولی در پلیو-کواترنر که سرگذشت زمین‌شناسی مشابهی با شمال باختر ایران دارد، با مدل ارائه شده برای آذربایجان مقایسه خواهد شد.

بحث و بحث

در این مطالعه، از مناطق مختلفی که دارای بیشترین برونزدهای سنگی

گدازهای آتشفشاری و نیمه آتشفشاری حدوداً سطح تا اسیدی در منطقه آذربایجان گسترش وسیعی دارند. منطقه آذربایجان دارای کامل ترین توالي‌های در ارتباط با فعالیت آتشفشاری مناطق پس برخوردی از زمان میوسن میانی تا پلیوسن و کواترنر است. اعضای سری کلسیمی-قلیایی شامل بازالت‌ها، آندزیت‌ها و داسیت‌ها و ریولیت‌ها هستند و در آتشفشاران‌های جزایر کمانی در حاشیه‌های فعال قاره‌ها و در کمرندهای کوه‌زایی یافت می‌شوند. در جزایر کمانی، آندزیت‌ها با مقدار زیادی بازالت و اندکی داسیت و ریولیت همراه هستند. در حاشیه‌های فعال قاره‌ای، آندزیت‌ها با مقدار کمی بازالت و مقدار زیادی داسیت و ریوداسیت همراه هستند. منطقه آذربایجان به عنوان بخشی از نوار ماگمایی البرز باختری - آذربایجان، در شمال باختر ایران و در زون برخوردی بین صفحه عربستان - اوراسیا قرار دارد. پس از برخورد دو صفحه عربستان و اوراسیا، و رخداد ستبرشدگی پوسته‌ای و بالا آمدگی،



و NW-SE صورت گرفته و پیروی فعالیت‌های آتشفسانی از ساختارهای زمین‌ساختی منطقه را نشان می‌دهد. سن مطلق مجموعه‌های سنگی فوق با استفاده از روش سن سنجی K/Ar در نمونه‌های سنگی معادل و مشابه که در شمال خاور ترکیه قرار دارد محاسبه شده است و برای فلات کارس-ارز روم در حدود ۱۲-۵ میلیون سال به دست آمده است (Keskin et al., 1998). همچنین برای مجموعه‌های آتشفسانی داسیتی و ریولیتی ارمنستان که با روش K / Ar و Rb / Sr انجام شده سنی در حدود ۱۷-۱۰ میلیون سال به دست آمده است که به نظر می‌رسد سن میوسن پسین تا پلیوسن را داشته باشد (Karapetian et al., 2001).

سنگنگاری

مطالعات سنگنگاری و کانی‌شناسی نمونه‌های مورد مطالعه برای ۷۵ عدد از نمونه‌های سنگی انتخاب شده به عمل آمد و براساس این مطالعات دو گروه سنگی به شرح زیر تفکیک شده است.

(۱) آندزیت‌ها و تراکی آندزیت‌ها

به طور کلی در کلیه مناطق مورد مطالعه سنگ‌های آندزیتی و تراکی آندزیتی نسبت به داسیت‌ها و ریولیت‌ها فراوانی بیشتری دارند. در نمونه دستی این سنگ‌ها، طیف متنوعی از رنگ‌های خاکستری روشن، قهوه‌ای، سرخ و سبز تیره را به خود اختصاص می‌دهند. در برخی از نمونه‌ها، بافت فائزیتیک و پورفیری دیده می‌شود و در برخی دیگر بافت ریز بلور و آفاتیک وجود دارد. سنگ‌های آندزیتی به طور عمده به صورت آگلومرا و برش آتشفسانی، و روانه‌های برشی گدازه‌ای هستند که به صورت بمب، و گاه به صورت گنبد(دم) و گنبد-گدازه(دم کوله) دیده می‌شوند. در منطقه زنوز و اهر گدازه‌های آندزیتی ساختار منشوری دارند. در شمال تبریز، باخته و جنوب باخته مرنده، سراب و سرعین، زنوز و سهنه، واحدهای آندزیتی گسترش وسیعی دارند و اغلب به صورت روانه، گدازه‌های برشی شده و آگلومراپی دیده می‌شوند. در مناطقی مانند انامک و محبوب آباد در جنوب باخته مرنده، ورزقان، قره‌تپه در زنوز، سراب و سهنه، سنگ‌های آندزیتی به صورت گنبدهای کوچک‌تر و دم کوله‌ها تشکیل شده‌اند (شکل‌های ۲ و ۳).

ویژگی‌های سنگنگاری سنگ‌های آندزیتی و تراکی آندزیتی عبارتند از: ۱) کانی‌های اصلی سنگ‌ها عبارتند از پلاژیوکلاز، هورنبلند که به صورت شکل دار و نیمه شکل دار هم به صورت درشت بلور و هم کانی‌های ریزتر در متن قرار دارند. اغلب درشت بلورها دارای ساختار منطقه‌ای و بافت باخته‌ای (غربالی) هستند. در برخی از نمونه‌ها هورنبلندها دارای حاشیه سوخته و در برخی دیگر دارای حواشی تحلیل رفته هستند. همچنین برخی از هورنبلندها دارای بافت

حدواسط تا اسیدی در آذربایجان بوده‌اند نمونه‌برداری شده است. این مناطق عبارتند از: ۱) شمال تبریز (منطقه منور و سهرل) و بهلول داغی، ۲) منطقه مرنده، ۳) منطقه خاور مرند (بناب و کوهناب)، ۴) منطقه اهر - ورزقان، ۵) منطقه سراب - نیر و سرعین، ۶) منطقه خواجه (قلعه‌لر)، ۷) منطقه جنوب باخته مرنده (محبوب آباد)، ۸) منطقه انامک و کشکسرای و گچی قلعه‌سی، ۹) منطقه سهنه (متق)، ۱۰) منطقه ولدان و زنجره، ۱۱) منطقه زنوز و قره‌تپه، ۱۲) میانه.

موقعیت جغرافیایی مناطق فوق در شکل ۱ نشان داده شده است.

واحدهای آتشفسانی در این مناطق، شامل انواع سنگ‌های آندزیتی، داسیتی، ریوداسیتی و ریولیتی است که به همراه مقادیر کمتری از سنگ‌های بازی در مناطق مورد مطالعه دیده می‌شوند. شکل و فرم جایگیری سنگ‌های مذکور در مناطق مورد مطالعه به طور عمده به صورت مجموعه‌های آذرآواری شامل انواع توف‌ها، آگلومراها و بمب‌ها و برش‌های آتشفسانی است و در برخی دیگر از مناطق، آندزیت‌ها و داسیت‌ها و ریوداسیت‌ها روانه‌های گدازه و گنبدهای نیمه آتشفسانی را تشکیل می‌دهند (شکل‌های ۲ و ۳). شکل‌های گنبدی در مناطق فوق به دو صورت دیده می‌شود: ۱) گنبدهای آتشفسانی منفرد و بزرگ ۲) توده‌های گنبدی شکل با اندازه‌های کوچک‌تر و متعدد. از نظر چینه‌شناسی، بهترین مقطع برای مطالعه و تعیین سن نسبی مجموعه‌های سنگی فوق و تطابق سنی واحدهای دیگر با آن، در منطقه منور واقع در شمال تبریز قرار دارد که در آن واحدهای سنگی آتشفسانی حدواسط و اسیدی به همراه میان لایه‌هایی از گدازه‌های بازی تر با یک مرز دگرشیب بر روی واحدهای رسوی سازند سرخ بالایی (U. R. F.) با سن میوسن میانی، قرار گرفته‌اند. در این مجموعه ستری که در حدود ۵۰۰ متر ستبرا دارد، دو سری قابل مشاهده است، سری قدیمی تر که بلا فاصله پس از واحدهای رسوی میوسن با رخساره آذرآواری و انفجاری دیده می‌شود و توسط سری جوان‌تر دوم، متشکل از گدازه‌های یکدست آندزیتی به صورت روانه و آگلومرا پوشیده می‌شوند. گنبدهای آتشفسانی بزرگ مخروطی شکل منفرد، مانند گچی قلعه‌سی و مگانه در اطراف مرنده، بهلول داغی و قلعه‌لر در اطراف تبریز و گنبدهای نیمه آتشفسانی اطراف سهنه، همگی واحدهای رسوی سازند سرخ بالایی راقطع کرده و سبب خرد شدگی و شبیدار شدن سنگ‌های مجاور شده‌اند. در آذربایجان همه مجموعه‌های فوق توسط رسویات جوان‌تر آبرفتی و اپی‌کلاستیک با سن پلیوسن پوشیده شده‌اند (شکل F-۳). آرایش و جایگیری خطی واحدهای آتشفسانی آندزیتی و در برخی موارد جایگیری گنبدهای نیمه آتشفسانی در هسته تاقدیس‌های موجود در سازند سرخ بالایی در نقشه‌های بزرگ مقیاس، نشان می‌دهد که فوران‌های آتشفسانی شکافی بوده و در اثر حرکات گسل‌های امتدادلغز و عمده‌تاً از محل برخورد گسل‌های متقاطع با روندهای NE-SW



نوع هورنبلند آندزیت، پیروکسن آندزیت، تراکی آندزیت و آندزیت بازالتی هستند. در پیروکسن آندزیت‌ها، کلینوپیروکسن‌ها از نوع اوژیت شکل دار با بافت گلومرپورفیری دیده می‌شوند.

(۲) داسیت‌ها، تراکی داسیت‌ها و ریوداسیت‌ها

بیشترین گسترش داسیت‌ها، تراکی داسیت‌ها و ریوداسیت‌ها در مناطق منور در شمال تبریز، سهند، زنوز، خواجه (قلعه‌لر)، مرند، اهر، و امامک و کشکسرای (قخلار) در جنوب باختر مرند دیده می‌شود. این واحدهای سنگی به طور عمده به صورت گنبه‌های منفرد نیمه آتشفسانی و یا به صورت آگلومرا و برش‌های آتشفسانی قابل مشاهده‌اند. در نمونه دستی، اغلب به رنگ قهوه‌ای روشن تا خاکستری و خاکستری روشن هستند. بلورهای آمفیبول و پیروکسن به صورت دگرسان شده در یک متن ریزبلور و شیشه‌ای قرار دارند. در مجموع ویژگی‌های زیر را برای گدازه‌های داسیتی می‌توان در نظر گرفت:

- ۱) کانی‌های اصلی شامل پلاژیوکلازهای شکل دار تا نیمه‌شکل دار هستند و با زون‌بندی و بافت غربالی به صورت درشت‌بلور در اندازه‌های ۱-۵ میلی‌متر در یک متن دانه‌ریز و یا شیشه‌ای قرار دارند. پلاژیوکلازهایی که فاقد زون‌بندی هستند با استفاده از روش میشل لوی در حد اولیگوکلاز تعیین شده است. هورنبلند و بیوتیت نیز به صورت درشت‌بلور مشاهده می‌شوند و دارای حاشیه سوخته‌اند. در ریوداسیت‌ها، بیوتیت‌ها دارای حاشیه کدر شده و نوارهای شکنجی هستند. کوارتز در نمونه‌ها به صورت ریزبلور در متن قرار دارد و در برخی از نمونه‌های ریولیتی در زنوز به صورت درشت‌بلور با حاشیه‌های خورده و خلیجی و گرد شده قابل مشاهده است. در برخی از نمونه‌های منطقه سهند درشت‌بلورهایی از آنورتوکلاز با میانبارهای شیشه دیده می‌شود (شکل ۸C,D).

۲) پیروکسن، اسفن، آپاتیت، فلدسپار قلیابی و کانی‌های کدر از کانی‌های فرعی محسوب می‌شوند. در برخی از نمونه‌ها فلدسپارهای قلیابی هم به صورت درشت‌بلور دیده می‌شوند.

۳) کانی‌های تیره شامل بیوتیت‌ها و آمفیبول‌ها به شدت دگرسان شده و به مجموعه‌ای از کانی‌های تجزیه‌ای مانند کلسیت، کلریت، اپیدوت، و کانی‌های تیره تبدیل شده‌اند. پلاژیوکلازها به سریسیت و کانی‌های رسی تبدیل شده‌اند.

۴) خمیره از ریزبلورهای متشکل از فلدسپات‌های قلیابی و پلاژیوکلاز، سانیدین و بلورهای ریز کوارتز است.

۵) بافت اغلب سنگ‌ها پورفیری، گلومرپورفیری، همراه با بافت پیلوتاکسیتی است. جهت‌دار شدن میکرولیت‌های ریز در اطراف درشت‌بلورها شاخص است. وجود فلدسپارهای قلیابی فراوان، کم شدن از تعداد کانی‌های مافیک، در تراکی داسیت‌ها قابل مشاهده است. افزایش کانی‌های کوارتز و فلدسپار قلیابی و کم شدن از کانی‌های مافیک، پیروکسن و آمفیبول، در انواع

پوییکلیتیک هستند و در آنها میانبارهایی از آپاتیت و اسفن و شیشه دیده می‌شوند. بیوتیت و کلینوپیروکسن‌های اوژیتی به مقدار کمتر در متن و گاه به صورت درشت‌بلور دیده می‌شوند. برخی از آمفیبول‌ها و بیوتیت‌ها دارای حاشیه کدری هستند و در اثر اکسایش شدید کانی‌ها از حاشیه به مجموعه‌ای از کانی‌های کلینوپیروکسن و کانی‌های تیره تبدیل شده‌اند. شیشه با رنگ قهوه‌ای روشن و خاکستری کمرنگ حد فاصل کانی‌های دیگر را پر می‌کند (شکل ۸).

۶) کانی‌های فرعی و عارضه‌ای شامل ریز بلورهایی از اوژیت، اسفن، آپاتیت، فلدسپار قلیابی و کانی‌های کدر هستند و به طور عمده در متن و یا به صورت میانبار در کانی‌های دیگر قرار دارند.

۷) کانی‌های تجزیه‌ای عبارتند از سریسیت، کلریت، کلسیت، اپیدوت، زئولیت و پرهنیت. کانی‌های تیره به کلسیت، کلریت، اپیدوت، زئولیت و کانی‌های کدر تبدیل شده‌اند و فلدسپارها به سریسیت و کوارتز پرهنیت تجزیه شده‌اند.

۸) بافت غالب نمونه‌های مطالعه شده، پورفیری، میکرولیتیک پورفیری و هیالومیکرولیتیک پورفیری است. در برخی از نمونه‌ها بافت تراکیتی نیز دیده می‌شود (شکل‌های ۵ و ۶ و ۷).

۹) قطعات ریزی از بیگانه سنگ‌های آمفیبولیتی و بازی در برخی از نمونه‌های سنگی مناطق محبوب آباد و امامک مرند دیده می‌شود.

۱۰) آثاری از آمیختگی ماقمایی و هضم در نمونه‌های منطقه مرند، زنوز، اهر دیده می‌شود (شکل ۵).

۱۱) وجود ساختار منطقه‌ای، بافت باخترالی، حواشی سوخته و کدر و حواشی تحلیل رفتہ بلورها نشان دهنده شرایط ناپایدار در محیط بلور بوده و احتمالاً در اثر صعود سریع ماگما یا فرایندهای آلایش و هضم و آمیختگی ماقمایی ایجاد شده است. شکل دار بودن آمفیبول‌ها نسبت به پلاژیوکلازها تقدم تشکیل آنها را نشان می‌دهد و صعود بعدی ماگما به سطوح بالاتر و یا آمیختگی با ماگمای بازی قلیابی سبب ناپایداری این نوع کانی‌ها شده و حاشیه‌های سوخته و کدر شده می‌تواند نشان دهنده این فرایند باشد. آمیختگی ماگمای بازیک و اسیدی سبب تغییر در میزان سیلیس مذاب شده و تحلیل رفن حاشیه برخی از کانی‌های زودتر تشکیل شده، از جمله آمفیبول‌ها و پلاژیوکلازها و ایجاد زون‌بندی می‌تواند گویای این مسئله باشد (شکل‌های ۶ و ۷ و ۸).

۱۲) ترکیب نورماتیو پلاژیوکلازها در حد آندزین (An 32-35) است.

۱۳) درشت‌بلورهای اولیوین شکل دار در نمونه منطقه میانه که احتمالاً نوعی آندزیت بازالتی است، دیده می‌شود. اولیوین در بیش از ۶۰٪ آندزیت‌های بازالتی و ۴۰-۱۰٪ آندزیت‌ها به صورت درشت‌بلور یافت می‌شود (Ewart & Stipp, 1968). با توجه به کانی‌شناسی سنگ‌ها، اغلب نمونه‌ها از



سیلیس، روند صعودی محسوسی دارد ولی در مورد Ba پراکندگی بیشتری در نمودار دیده می شود که می تواند در ارتباط با آلودگی پوسته ای باشد. Nb، Zr، Y دارای روند نزولی با افزایش SiO_2 می باشد. Zr در اولویت اول، تمایل به ورود در ساختار کانی زیر کن دارد و در صورت نبود زیر کن، عنصر زیرکنیم در آمفیبول ها وارد می شود (Rollinson, 1993). تغییرات عنصر Nb در ارتباط با جدایش ایلمنیت، اسفن، و در مرحله بعد می تواند در ارتباط با تفريقي کانی های بیوتیت و هورنبلند باشد. Sr در ارتباط با افزایش SiO_2 باید با وارد شدن در ساختار پلاژیو کلازراها روند منفی داشته باشد ولی در نمودارها پراکندگی بیشتری نشان می دهد که می تواند حاکی از آلایش (هضم یا آمیختگی) باشد.

عناصر سازگار V, Cr, Ni و Ti با افزایش SiO_2 همبستگی منفی نشان می دهند (شکل ۱۱). این مسئله می تواند در ارتباط با تفريقي کانی های فرومینیزین مانند پیروکسن و مگنتیت در حین صعود ماگما و استقرار آن در محفظه های ماگمایی باشد. با توجه به همبستگی های مشاهده شده در نمودارها، نمونه های آندزیتی، داسیتی و ریولیتی مناطق مختلف می توانند از یک منشأ پوسته ای حاصل شده باشند که با مقادیر مختلفی از ماگمایی بازی آمیختگی یافته و ماگمایی هیرید را به وجود آورده اند و متعاقب آن تحول چنین ماگمایی هنگام صعود و استقرار در محفظه های ماگمایی در طی فرایندهای هضم و تفريقي با نرخ های متفاوت انواع سنگ های مناطق مختلف را به وجود آورده است. واحدهای جوان اولیوین بازالتی واقع در روی مجموعه های اسیدی و حدواتط مناطق مورد مطالعه در نمودارها موقعیت جداگانه ای را به خود اختصاص می دهند و ماهیت شیمیایی ماگمایی این سنگ ها بازی قلیابی است.

نمودارهای مربوط به الگوهای عناصر خاکی کمیاب، نمونه های حدواتط و اسیدی نسبت به مقادیر کندریت و MORB با روش پیشنهادی McDonough et al. (1991) بهنجار شده اند. همان طور که در نمودارها ملاحظه می شود، شب منفی محسوسی وجود دارد. این مسئله می تواند در ارتباط با غنی شدگی انتخابی از LREE (از La تا Nd) باشد. به طور کلی، تمام نمونه ها الگوی تفريقي یافته ای نشان می دهند. تقریباً در تمامی آنها تهی شدگی از عناصر HREE وجود دارد که می تواند در اثر تفريقي کانی های اولیوین، زیر کن و یا هورنبلند باشد. Eu²⁺ بی هنجاری منفی ندارد و نشان دهنده حضور پلاژیو کلازهای کلسیک به عنوان عامل کنترل کننده تحول ماگما و یا عدم حضور آنها در فاز بازنده و یا فوگاسیته بالای O_2 است و در این حال Eu³⁺ به Eu²⁺ تبدیل شده و نمی تواند وارد شبکه پلاژیو کلازهای کلسیک شده و در مایعات تفريقي یافته بعدی متمرکز خواهد شد و ارتباط منطقی خود را با درصد CaO گذازه از دست خواهد داد (Mccurt et al., 1985; Rollinson, 1993).

ریوداسیت دیده می شود. در برخی از نمونه های داسیتی بیگانه سنگ همزاد مشاهده می شود که احتمالاً منشأ آنها از حاشیه انجاماد سریع گنبد ها است.

زمین شیمی (ژئوشیمی)

برای مطالعات زمین شیمیایی ۷۵ نمونه سالم از سنگ های حدواتط و اسید برای تعیین شیمیایی اکسیدهای عناصر اصلی و جزئی با روش های XRF و ICP-MS به کشور کانادا (شرکت Als Chemex) ارسال شدند و نتایج آن در جدول ۱ ارائه شده است. از نتایج مطالعات زمین شیمیایی عناصر مورد تجزیه می توان در تعیین پتروژنز (سنگ زایی) سنگ ها و سیر تحولی ماگما و تأثیرات فرایندهای AFC به طور گسترده استفاده کرد. نمونه های مورد مطالعه دارای دامنه تغییرات SiO_2 از ۵۳-۷۹ درصد بوده و عدد میزیمی آنها از ۰/۶۵ تا ۰/۲۲ تغییر می کند.

در همه نمونه های مورد مطالعه، نسبت $\text{Na}_2\text{O} / \text{K}_2\text{O} > 1$ است و در نمودار K_2O در برابر SiO_2 پیشنهادی Middlemost (1975) اغلب نمونه ها در محدوده کلسیمی - قلیابی و کلسیمی - قلیابی پتاسیم بالا قرار می گیرند (شکل a). سری ماگمایی نمونه های مطالعه شده با استفاده از نمودار SiO_2 در برابر K_2O پیشنهادی Pearce (1983) در محدوده کلسیمی - قلیابی قرار می گیرند (شکل b).

مقدار کوارتز نورماتیو از صفر تا ۷۵ درصد در تغییر است و اولیوین نورماتیو بجز برخی نواحی، از جمله منطقه قلعه لر، قره تپه در زنوز و محبو آباد در جنوب باخته مرند، برای بقیه مناطق صفر است. تمامی نمونه ها متألومینوس هستند (شکل c). در رده بندی های سنگ شناختی اغلب نمونه ها در نمودار TAS پیشنهادی Le Bas & Le maître (1986) در محدوده آندزیت، آندزیت بازالتی، تراکی آندزیت، داسیت و تراکی داسیت و ریولیت قرار می گیرند (شکل d).

در نمودارهای متغیر اکسید-اکسید هار کر و عناصر فرعی، رفتار سیلیس نسبت به عناصر اصلی و کمیاب مورد بررسی قرار گرفته است (شکل e). در این نمودارها با افزایش مقدار سیلیس، اکسیدهای اصلی CaO, MgO, Fe₂O₃ و TiO₂ روند نزولی نشان می دهند. این مسئله می تواند احتمالاً در ارتباط با تفريقي و تبلور کانی های پلاژیو کلاز و کانی های پرمینیزین مانند اولیوین، پیروکسن و کانی های تیره مانند تیتانومگنتیت و ایلمنیت در مسیر صعود و استقرار ماگمایی هیرید در محفظه های ماگمایی بالاتر در ارتباط باشد. مقدار K₂O با افزایش SiO_2 روند صعودی دارد این روند عادی در تفريقي ماگمایی مشاهده می شود. Na₂O دارای روند صعودی با شبکه اندک و پراکنده است، داخل شدن Na در شبکه پلاژیو کلازها می تواند روند صعودی ایجاد کند و پراکنده بودن آن می تواند در ارتباط با هضم یا آمیختگی باشد. Pb با افزایش



Ishizaka & Carlson (1983) و Harmon et al. (1984) اولیه بودن این مagmaها بوده و افرادی مانند آندزیت‌ها بخوص آندزیت‌های کوهزایی در هر چهار منطقه در ارتباط با زمین- ساخت صفحه‌ای دیده می‌شوند. این مناطق عبارتند از مرز صفحه‌ها و اگرا و همگرا، محیط‌های درون صفحه‌ها و مرزهای گسل‌های ترادیس و مناطق برخوردي صفحه‌ها که می‌توانند مقادیر زیادی از سنگ‌های آندزیتی را داشته باشند. ولی به طور عمده آندزیت‌های کوهزایی در ارتباط با مرزهای صفحه‌ها همگرا هستند. حجم سنگ‌های همراه با آندزیت و یا نبود آنها می‌تواند در ارتباط با محیط‌های زمین‌ساختی و منشأ magma‌های سازنده آندزیت بحث شود. آندزیت‌های کوهزایی همراه با مجموعه‌های بازی دیده می‌شوند و در به وجود آمدن آنها علاوه بر زمین‌ساخت، تفرقی، آلاش و یا ذوب پوسته نیز مؤثر است. در مناطق آتش‌شانی جزایر کمانی بازالت‌های همراه آندزیت‌ها تولیتی هستند و با دور شدن از گودال اقیانوسی به انواع غنی از آلومینیم تبدیل می‌شوند. آندزیت‌های خارج شده از مناطق حاشیه قاره و جزایر کمانی تفاوت‌های زیادی دارند. از جمله نبود و یا کم بودن هورنبلند و فقر Al_2O_3 در آندزیت‌های جزایر کمانی از مهم‌ترین تفاوت‌های است (Gill, 1981). منشأ آندزیت‌ها و داسیت‌ها در مناطق فروزانشی می‌توانند از ذوب بخشی پوسته اقیانوسی فرو رونده با یا بدون رسوبات سطحی روی آن، گوشه‌گوشته‌ای متاسوماتیزه روی آن و یا لایه گوشته تهی شده از عناصر زودگذار واقع در زیر پوسته فرو رونده باشد (Aramaki, 1982). همچنین با توجه به کارهای تجربی که تاکنون انجام گرفته تشکیل آندزیت‌ها در روی و یا نزدیک پوسته اقیانوسی فرو رو با احتمالاتی از قبیل ذوب بخشی آمفیولیت در ژرفای کم و یا تبلور بخشی هورنبلند از یک مذاب بازالتی، ذوب بخشی اکلوژیت در ژرفای زیاد و ذوب بخشی پریدوتیت (گوشته) در حضور آب مطرح بوده است (Green, 1982). همچنین عده‌ای دیگر ایجاد magma‌های حدواسط را با ذوب بخش‌های بازی پوسته قاره‌ای توجیه می‌کنند (Picher & Zill, 1972). از آنجا که میانگین ترکیب پوسته قاره‌ای با ترکیب شیمیایی آندزیت‌ها چندان تفاوتی ندارد (جدول ۲، شکل ۱۰). لذا ذوب وسیع در پوسته می‌تواند به تشکیل magma‌های حدواسط منجر شود. منشأ آندزیت‌های magma‌های حدواسط با فرایندهای تفرقی magma‌های بازالتی، آلاش magma‌های بازالتی با مواد پوسته‌ای و آمیختگی magma‌های بازی با magma‌های اسیدی توجیه می‌شود. بدینه است در ارائه مدل سنگ‌زدای مناسب برای تولید magma‌های حدواسط علاوه بر در نظر گرفتن واقعیت‌های زمین‌شناسی منطقه باید از نتایج کانی‌شناسی و شیمیایی به دست آمده بهره برد. دونمایی بودن فعالیت آتش‌شانی در پلیو-کواترنر آذربایجان و حضور دو نوع magma‌های کلسیمی-قلیایی و magma‌های بازالتی قلیایی با ترکیب شیمیایی متفاوت، شواهد

که نسبت به مقادیر کندریت، مورب و گوشته اولیه بهنجار شده‌اند عناصر ناسازگار درشت یون LILE، مانند Rb، K، Ba، Ce، La، Yb، Nd، Y، Yb، Gd، N-MORB در نمودار بهنجار شده نسبت Ti، Tb، Y، Tm، بازمانده در ارتباط با تهی شدگی نشان داده و Nb ، Ce ، Y ، Yb ، Gd ، Lu از عناصر خاکی کمیاب سنگین مانند Ti ، Y ، Tm ، Nb ، Gd در نمودار بهنجار شده نسبت Ti ، Y ، Tm ، Nb ، Gd بازمانده است. ولی بهنجاری پایینی را نشان می‌دهند. این مسئله می‌تواند در ارتباط با تهی شدگی magma‌های اولیه با منشأ گوشته سست کره‌ای با بازمانده گارنت از عناصر خاکی کمیاب سنگین باشد که باعث ذوب بخشی در پوسته شده و در اثر آمیختگی با مواد پوسته‌ای نسبت این عناصر را در مذاب پایین آورده است. ولی عناصر درشت یون مانند Ba، K، Rb، Sr، Ce ، Y ، Yb ، Gd و عناصر خاکی کمیاب سبک مانند La و Ce بهنجاری مثبت دارند (شکل ۱۲). تهی شدگی Zr ، Nb و Ti نیز از ویژگی‌های magma‌های کلسیمی-قلیایی در ارتباط با قوس‌های آتش‌شانی در مقایسه با magma‌های درون صفحات سنگ‌کره‌ای است. وجود بی‌هنچاری منفی برای P، می‌تواند در ارتباط با تبلور بخشی آپاتیت و همچنین بی‌هنچاری مثبت U می‌تواند در ارتباط با آلاش پوسته‌ای باشد. در این مطالعه نمودارهای عنکبوتی و عناصر کمیاب منطقه فلات کارس-ارز روم در خاور ترکیه با شمال باختر ایران و آذربایجان مقایسه شده است (شکل ۱۲). آتش‌شانهای این منطقه به عنوان آتش‌شانهای تیپ مناطق پس برخوردي معرفی شده‌اند و از نوع دونمایی (bimodal) هستند (Keskin et al., 1998). گدازه‌های اسیدی و حدواسط دارای ویژگی‌های کانی‌شناختی مشابه با آذربایجان هستند. وجود آمفیول‌ها با حاشیه جذبی، پلاژیوکلازهای زون‌بندی شده، بافت تراکیتی و گلومروپورفیری از ویژگی‌های کانی‌شناختی سنگ‌های این منطقه به شمار می‌آیند. غنی شدگی در عناصر LILE و HFSE و بی‌هنچاری منفی Nb، Ta و Nb در عناصر LILE نسبت به HFSE نیز از ویژگی‌های زمین‌شیمیایی سنگ‌های این منطقه می‌باشد.

سنگ زایش (پتروزن)

ماگماهای مولد سنگ‌های حدواسط و اسید پلیو-کواترنر آذربایجان متعلق به سری کلسیمی-قلیایی است. تمامی نمونه‌ها به غیر از نمونه‌های مربوط به منطقه باختر مرند در کشکسرای که ماهیت پتاسیک دارند، بقیه نمونه‌ها ماهیت کالک-قلیایی سدیک نشان می‌دهند. سری‌های کلسیمی-قلیایی مختص مناطق حواشی فعال قاره‌ای و جزایر کمانی و کمریندهای کوهزایی هستند. انواع غالب سنگی در سری کلسیمی-قلیایی آندزیت و داسیت و ریولیت‌ها هستند که همراه با سنگ‌های بازی دیده می‌شوند. نظریات مختلفی در ارتباط با به وجود آمدن magma‌های کلسیمی-قلیایی و منشأ آن وجود دارد. Stern & ITO (1983)؛ Ryabchikov & Aramaki (1982)



ویژگی‌های مagmaهای کلسیمی-قلیابی آذربایجان به شدت تحت تأثیر فرایندهای (AFC) است و شواهد کانی‌شناسی و زمین‌شیمیایی نمونه‌های مورد مطالعه این مسئله را نشان می‌دهد. با توجه به جایگیری اغلب گندلهای پلیو-کواترنر آذربایجان در درون نهشته‌های تخریبی و تبخیری سازند سرخ بالایی می‌توان گرایش زمین‌شیمیایی آنها به سمت بخش‌های سدیمی را از طریق هضم مواد تبخیری از جمله نمک توضیح داد. به گونه‌ای که در نمونه‌های منطقه زنوز و قره تپه و مرند این پدیده در مقاطع میکروسکوپی دیده می‌شود. برای بررسی تأثیر فرایندهای (AFC) از نمودار Yb / Th - Ta / Yb پیشنهادی Pearce (1983) استفاده شده است. روندهای FC و AFC در این نمودار دخالت سنگ‌کره قاره‌ای و نیمه‌قاره‌ای را در سنگ‌زایی سنگ‌های ناشان می‌دهد. تغییرات نسبت‌های Yb / Th - Ta / Yb برای نمونه‌های آذربایجان دخالت فرایندهای آلاش پوسته‌ای در سنگ‌زایی magmaهای مولد این سنگ‌ها را نشان می‌دهد (شکل ۱۳). در منطقه آذربایجان، بهترین مسیر و معبر برای خروج مواد آتشفسانی گسل‌های با راستای NE-SW - راستالغز و گسل‌های با امتداد شمالی - جنوبی و محل تقاطع این دو سامانه گسلی و نیز عوامل ساختاری از جمله چین‌های با راستای محوری NW-SE بوده است. عملکرد گسل‌های NW - SE از نوع فشارشی و معکوس بوده است، شبیه اغلب این گسل‌ها تند بوده و علاوه بر عملکرد فشاری دارای مؤلفه راستالغز راست‌گرد نیز هستند (گسل تبریز). وجود انحنا در مسیر این نوع گسل‌ها نیز می‌تواند در تولید محیط‌های تراکشی و توسعه فعالیت‌های آتشفسانی و یا ایجاد فضای لازم برای جایگیری گندلهای نیمه‌آتشفسانی نقش عمده‌ای داشته باشد.

نتیجه‌گیری

۱) واحدهای آتشفسانی کلسیمی-قلیابی پلیو-کواترنر آذربایجان طیف ترکیبی وسیعی داشته و شامل آندزیت‌ها، داسیت و ریوداسیت‌ها هستند که به طور گسترده با مرزهای دگرگشیب بر روی واحدهای رسوبی میوسن قرار گرفته‌اند. گندلهای بزرگ نیمه آتشفسانی منفرد شامل داسیت‌ها و گند-گدازهای آندزیتی مهم‌ترین شکل ریخت‌شناسی واحدهای آتشفسانی جوان به سن پلیو - کواترنر آذربایجان را تشکیل می‌دهند. ادامه این واحدها در خاور آناتولی و قفقاز و ارمنستان نیز قابل مشاهده است. فلات وسیع و مرتفع شمال باختر ایران و خاور آناتولی و قفقاز از میوسن میانی تا کواترنر شاهد رخدادهای magmaهای مشابهی بوده و جایگیری این مجموعه‌ها در امتداد گسل‌های مهم امتدالغز منطقه و گسل‌ها و شکستگی‌های فرعی آنها است.

۲) سنگ‌های مطالعه شده دارای بافت پورفیری و میکرولیتیک پورفیری است. کانی‌های پلازیوکلاز، آمفیبولهای شکل‌دار و نیمه شکل‌دار مهم‌ترین درشت بلورها می‌باشند. در برخی از نمونه‌ها به علت شرایط عدم تعادل در

کانی شناسی و میکروسکوپی نمونه‌های سنگی مانند حضور بیگانه‌سنگ‌های آمفیولیتی و گویچه‌هایی از مواد بازی، آثاری از آمیختگی magmaهای بازی با magmaهای اسیدی، وجود آمفیبولهای پلازیوکلازهای زون بنده شده با حواشی خورده شده و سوخته و یا کدر شده، بافت باخترالی، گلومرپورفیری و پویی کلیتیک، بالا بودن نسبت $\text{Na}_2\text{O}/\text{K}_2\text{O}$ ، الگوی تفریق یافته برای REE، نبود بی‌هنجری منفی برای Eu، پایین بودن Y, Ti, Nb و الگوی پیشنهادی در نظر گرفته شوند. برای تعیین محیط زمین‌ساختی نمونه‌های مورد مطالعه از نمودارهای پیشنهادی Muller & Groves (1997) برای تفکیک موقعیت magmaهای کمانی از درون صفحه‌ای و همچنین تفکیک کمان‌های magmaی حاشیه فعال قاره و کمان‌های magmaی پس برخورده استفاده شده است و اغلب نمونه‌ها در موقعیت کمان‌های پس برخورده و حاشیه فعال قاره قرار گرفته‌اند (شکل ۱۳).

در نقشه‌های زمین‌ساخت جهانی، ایران جزئی از حاشیه فعال قاره‌ای در نظر گرفته می‌شود و در نهایت بخشی از زون برخورده قاره - قاره و متعلق به نوار کوهزایی آلپ - هیمالیا محسوب شده است.

با ادامه همگرایی صفحه‌های عربستان و اوراسیا دور جدیدی از آتشفسانی برخورده در شمال باختر ایران و خاور آناتولی در میوسن شروع شد. در اثر کوتاه شدگی و بالا آمدگی قابل توجه پوسته‌ای در فلات ایران - آناتولی در اثر آشفتگی گرمایی (Thermal perturbation) در گوشته سنگ‌کرهای سبز شده ذوب بخشی اتفاق افتاده و magmaهای بازی قلیابی به وجود آمد (Pearce et al., 1990). صعود این magmaهای بازی داغ و استقرار آن در پوسته زیرین سبب توسعه ذوب بخشی در این ناحیه شده و magmaهای اسیدی شکل گرفت. آمیختگی magmaهای بازی و اسیدی در بخش‌های میانی حجره magmaی سبب تشکیل مذاب‌هایی با ترکیب حدواسط شده است. فعالیت آتشفسانی دونمایی در آذربایجان با فوران‌های انفجاری آغاز شده و ابتدا مذاب‌های اسیدی از حجره magmaی خارج شده و سنگ‌های ریولیتی و داسیتی با ترکیب اسیدی را ساخته است. سپس با ادامه فعالیت آتشفسانی magmaهای هیرید شده با ترکیب حدواسط تا بازی فوران نموده و سنگ‌های آندزیتی و آندزیت‌های بازالتی را به وجود آورده است. در آخرین مرحله، فوران‌های بازالتی قلیابی اولیوین دار از بخش بازی حجره magmaی به وجود پیوسته است و سنگ‌های بازالتی اولیوین دار جوان آذربایجان را به وجود آورده است. این نوع توالی‌ها سری‌های معکوس آتشفسانی را ایجاد می‌کنند که در آن دونوع magma با ترکیب شیمیایی متفاوت در روی هم قرار می‌گیرند به طوری که سری‌های اسیدی و حدواسط در پایین و واحدهای بازی در بالا قرار می‌گیرند.



شمال باختر ایران باید به سری های معکوس و دونمایی آتشفشنایی توجه ویژه مبتدول شود. به گونه ای که فعالیت های آتشفشنایی بعد از میومن در منطقه آذربایجان، ابتدا با واحدهای سنگی اسیدی شروع شده و سپس واحدهای بازی قلیایی در روی آنها قرار می گیرند. چنین توالی با مخازن ماگمایی زون بندي شده قابل توجیه است. استقرار ماگمای بازی و قلیایی اولیه در مناطق عمقی پوسته، سبب ذوب بخشی پوسته شده و ماگمای اسیدی شکل گرفته است. ماگمای کم چگال اسیدی، مانند فیلتری مانع عبور مذاب بازی به سطوح بالاتر می شود و در اثر آمیختگی ماگمای یک بخش حد بواسطه بین ماگمای اسید و بازی شکل می گیرد. با شروع فوران ابتدا ماگمای اسید به بیرون راه پیدا می کند و در ادامه ماگماهای حد بواسطه با شواهد آمیختگی بین ماگمای اسید و بازی تشکیل می شود و در نهایت در ادامه فعالیت آتشفشنایی در اثر فعالیت گسل ها و حاکمیت رژیم های زمین ساختی کششی، ماگماهای بازی عمقی فوران کرده و بدون علاطم قابل توجه آلایشی و با سرعت زیاد به سطح می رساند. این گدازه ها در منطقه آذربایجان تشکیل بازالت های قلیایی اوایلین دار را داده اند. نمونه شاخصی از سری معکوس آتشفشنایی در منطقه متور در شمال تبریز قرار دارد.

تبولر ماگما، احتمالاً به علت تغییر سریع ژرفا و یا آمیختگی، آمفیبول‌ها و کلینوپیروکسن‌ها دارای حواشی واکنشی و خورده شده بوده، بلورها کدر و دارای زون‌بندی هستند. بویژه در سنگ‌های داسیتی کانی‌های تیره به شدت دگرسان شده‌اند.

(۳) در برخی از نمونه‌های آندزیتی، قطعات و تکه‌هایی از سنگ‌های بیگانه با ترکیب آمفیبولیتی و بازی دیده می‌شود.

۴) سری ماقمایی سنگ‌ها، کلسیمی- قلایی بوده و اغلب متألومینوس هستند. غنی شدگی LILE و تهی شدگی در عناصر HREE, Nb, Y, و الگوی تغیریق یافته برای REE و نبود بی هنجاری منفی Eu از ویژگی‌های نمونه‌های مورد مطالعه است.

۵) محیط زمین ساختی نمونه‌های مطالعه شده کمان‌های پس برخورده و کمان‌های حاشیه فعال قاره‌ای تعیین شده است.

۶) با توجه به بالا آمده‌گی در منطقه برخورداری، و سبّرای زیاد پوسته، امکان فرایندهای (AFC) با مواد پوسته‌ای وجود داشته و این مسئله با شواهد کانی‌شناسی و نمودارهای تغییرات عناصر اصلی و فرعی قابل درک است.

۷) در مطالعه تحولات مانگمای تشکیل دهنده واحدهای کلسیمی - قلایی

جدول ۱- نتایج تجزیه شیمیایی سنتگ های آتشفشنای پلیو-کواترنر آذربایجان، اکسیدهای اصلی به درصد و عنصر فرعی و کمیاب به ppm می باشد.

Location	نوع												نوع															
	SAHL10	SAHD7	SAHD8	SAHL1	SAHL8	SAHL4	GHD3	SOL1	SOL2	SOL3	SOP2	SOP4	SOP5	SOP13	M01	M02	M04	M05	M0B1	MOB4	BAH	BAHD	MYAB6	ANA	ANB	ANA1LA		
SiO ₂	66.93	69.29	69.41	66.36	66.6	67.53	67.56	55.92	65.44	63.56	62.02	58	62.18	66.65	60.1	54.49	68.71	62.25	61.62	62.49	69.08	69.18	55.46	55.98	54.55	64.44		
TiO ₂	0.44	0.35	0.31	0.31	0.41	0.47	0.33	0.85	0.71	0.64	0.68	0.85	0.67	0.52	0.88	1.14	0.52	1.03	0.62	0.75	0.27	0.35	0.79	0.9	0.91	0.52		
Al ₂ O ₃	16.79	16.14	16.45	19.99	16.2	16	15.92	17.29	14.03	16.8	16.37	17.14	16.45	16.05	16.76	16.44	16.84	18.3	16.19	16.42	15.91	16	18.29	18.05	18.07	16.8		
F ₂ O ₃ t	3.05	2.1	2.13	1.87	2.69	2.64	2.69	7.29	3.89	4.02	4.42	6.7	5.34	3.13	4.49	7.75	7.2	3.54	4.93	4.3	2.17	2.02	7.15	7.11	8.02	3.5		
Fe ₂ O ₃	1.44	1.08	1.05	0.93	1.31	1.29	1.28	2.72	1.86	1.81	1.97	2.7	2.41	1.45	2.02	3.25	1.03	1.62	2.17	2.02	1.1	1.06	3.49	3.2	3	1.61		
FeO	1.49	0.99	1.04	0.93	1.3	1.28	1.32	4.07	1.86	2.02	2.22	3.56	2.61	1.56	2.46	4.49	1.08	1.91	2.76	2.27	1.06	0.94	5.23	3.91	4.54	1.74		
MnO	0.04	0.04	0.04	0.03	0.06	0.04	0.04	0.14	0.05	0.05	0.07	0.17	0.06	0.04	0.07	0.11	0.02	0.04	0.054	0.080	0.01	0.01	0.17	0.11	0.16	0.05		
MgO	0.43	0.99	1.05	0.81	1.07	1.03	1.06	3.05	2.33	0.78	2.73	3.08	1.28	1.79	2.99	4.76	0.31	1.12	2.76	3.02	1.09	0.9	3.09	3.12	3.31	1.75		
CaO	2.89	3.32	3.44	3.1	3.38	3.26	3.93	6.9	4.39	5.34	5.04	6.97	4.75	3.66	6.93	7.65	2.92	3.14	5.49	5.12	3.28	2.58	8	4.21	8.05	4.85		
Na ₂ O	4.15	4.55	4.74	4.64	4.27	4.59	3.8	3.31	5.26	4.22	5.03	4.02	4.06	5.33	4.71	4.59	4.12	4.71	4.46	4.34	3.97	4.63	3.78	6.2	3.61	4.88		
K ₂ O	2.45	1.88	1.85	1.88	2.3	2.29	2.76	1.95	1.79	1.75	1.8	1.61	3.06	1.79	1.94	1.17	1.95	1.84	1.78	2.14	3.1	2.97	1.27	0.88	1.03	1.89		
P ₂ O ₅	0.17	0.12	0.1	0.11	0.16	0.15	0.12	0.24	0.45	0.25	0.33	0.28	0.26	0.19	0.37	0.33	0.09	0.25	0.25	0.3	0.12	0.11	0.33	0.35	0.26	0.27		
Total	99.39	99.24	100.05	99.7	99.48	99.95	99.62	99.79	99.97	98.47	100.05	99.94	99.41	99.96	100.05	100.58	100.15	100.41	100.84	100.43	99.62	99.41	99.94	99.76	99.98	100		
LOI	1.92	0.34	0.43	0.48	2.22	1.82	1.21	1.87	1.45	0.87	1.4	0.96	1.1	0.64	1.28	2.15	2.53	4.19	2.29	1.46	0.62	0.48	1.43	2.87	1.89	0.89		
Ba	774	515	507	580	683	428	1025	917	669	1085	711	855	1235	635	530	1100	850	1400	1200	1200	590	966	814	780	452	859		
Rb	56.6	50.9	50.9	45.4	51.4	35.3	70.5	60.9	43	45	41	43.3	73.7	41.5	97	93	68	88	38	120	84	60.2	50	88	26.1	39.8		
Sr	515	431	442	457	436	291	600	479	1020	616	738	566	609	657	100	210	140	250	150	170	97	516	543	462	785			
Y	7.3	5.1	4.9	4.4	7.5	4.8	5.1	24.4	8.6	15.7	10.1	18.8	15.6	5.8	124	134	165	107	130	280	220	360	320	310	240	129	132	7.7
Zr	151	111	113	124	123	78	115	155	136	133	124	134	165	107	130	280	220	360	320	310	240	129	132	127	128	9	11.4	
Nb	11.4	7.7	7.6	8.8	10.2	6.9	9.3	9.6	20	8.3	14.1	8.6	13.6	9.2	7.5	7.58	7.28	9.77	6	12	15	15	11	34	34	14	12	
Th	9.34	7.67	7.97	8.44	7.17	4.81	8.4	9.42	9.63	6.5	7.58	7.28	9.77	6	12	14	14	12	15	15	11	44	34	34	14	12	9.68	
Pb	20	14	14	13	14	9	12	14	14	12	14	14	12	15	15	11	40	24	71	26	34	35	36	11	44	34	14	
Ga	23.9	15.2	16	16.6	23.9	23.7	16.3	18.6	16.7	18.5	19.9	17.8	17.8	15.2	170	190	250	260	260	210	190	150	150	18.8	18.2	160	21.6	21.5
Zn	57	39	40	44	50	32	33	108	61	62	63	92	67	48	6	7	6	7	5	6	6	12	288	8	114	60		
Cu	42	13	22	18	29	19	23	84	22	15	24	22	32	23	42	35	38	31	36	37	29	6	21	36	56	27		
Ni	31	7	5	5	20	16	5	5	23	5	64	5	5	22	93	85	57	79	98	100	66	5	5	5	5	5		
V	61	31	23	27	50	31	27	188	182	112	88	155	115	54	210	180	180	170	180	180	180	180	180	180	180	180	180	
Cr	20	20	20	10	20	10	40	10	40	10	70	20	20	50	170	190	250	260	210	190	150	20	10	0	30			
Co	7.8	5.6	6.1	4.9	6.9	4.4	8.5	21.4	12.3	7	13.7	15.2	11.5	8.9	40	24	71	26	34	35	38	42	15.5	21.9	9.7			
La	31	20	2	25	24.5	16.4	24.9	26.2	28.3	21.9	27.3	24.6	32.5	20.1	27.3	27.3	21.9	27.3	27.3	27.3	27.3	28	32.7	28	20.9	30		
Ce	50	31.1	31.9	37.9	41.4	26.7	38.4	50.8	70.2	42	49.5	46.4	57.6	39.4	93	85	57	79	98	100	66	47.5	53	76	41.8	50.1		
Pr	5.38	3.07	3.07	3.67	4.21	2.93	3.59	6.07	7.88	4.96	5.56	5.52	6.55	4.66	64	46	73	71	59	43	36	4.27	6.2	33	5.08	5.31		
Nd	18.8	10.2	10.6	12.1	14.7	10.8	11.7	23	27.7	19.5	19.2	20.8	22.7	17.2	19.2	20.8	22.7	17.2	17.2	17.2	17.2	17.2	13.4	23.3	19.8	18		
Sm	2.74	1.86	1.69	1.93	2.42	1.8	1.81	4.73	4.45	3.72	3.36	4.31	3.94	2.56	1.81	1.81	1.81	1.81	1.81	1.81	1.81	1.81	1.81	1.81	1.81	1.81		
Eu	0.68	0.51	0.53	0.53	0.74	0.45	0.61	1.24	1.08	1.01	1.08	1.24	1.09	0.72	1.24	1.09	0.72	1.24	1.09	0.72	1.24	1.09	0.56	1.35	1.34	0.79		
Gd	2.5	1.58	1.68	1.61	2.29	1.52	1.69	4.3	3.53	3.31	3.1	3.74	3.64	2.19	1	2.1	1.4	2.5	1.5	1.7	0.97	1.8	4.59	2.6	4.22	2.61		
Tb	0.3	0.2	0.2	0.19	0.29	0.18	0.21	0.72	0.41	0.5	0.35	0.6	0.48	0.27	1.24	1.09	0.72	1.24	1.09	0.72	1.24	1.09	0.69	0.69	0.33			
Dy	1.48	1.17	1.01	1.06	1.39	0.96	0.93	4.39	1.84	2.97	2.02	3.65	2.91	1.25	1.25	1.25	1.25	1.25	1.25	1.25	1.25	1.25	1.25	1.25	1.25	1.25		
Ho	0.25	0.190	0.18	0.15	0.24	0.16	0.19	0.85	0.31	0.58	0.36	0.74	0.55	0.24	1.24	1.24	1.24	1.24	1.24	1.24	1.24	1.24	1.24	1.24	1.24	1.24		
Er	0.67	0.57	0.5	0.43	0.71	0.44	0.53	2.6	0.87	1.64	1.07	1.97	1.71	0.62	1.24	1.24	0.72	1.24	1.24	0.72	1.24	1.24	0.72	1.24	1.24	0.72		
Tm	0.11	0.08	0.07	0.07	0.11	0.06	0.07	0.03	0.43	0.12	0.24	0.15	0.31	0.24	0.72	0.72	0.72	0.72	0.72	0.72	0.72	0.72	0.72	0.72	0.72	0.72		
Yb	0.57	0.49	0.47	0.43	0.61	0.42	0.47	2.85	0.71	1.63	0.84	2.14	1.53	0.52	0.63	1.2	0.79	0.95	1.6	1.5	0.73	0.4	2.77	2.77	0.77			
Lu	0.09	0.07	0.06	0.06	0.1	0.04	0.07	0.01	0.4	0.12	0.02	0.12	0.02	0.25	0.07	0.21	0.16	0.18	0.17	0.18	0.18	0.07	0.41	0.23	0.41	0.09		

ادامه جدول ۱

Location	مرند-کشکواری-آناتس																								
Sample	AND3	MAK4	MAK3	MAK9	MAK13	MAK11	GED1	ZA3	ZA2	VA1	VA2	MBD10	MBD6	MA3	MBD4	MBD1	MBR	AHP7	AH6	AHD2	AHP4	AHP6	AHD1	AH-V3	AH-V4
SiO ₂	63.07	56.17	53.21	61.11	60.99	70.44	61.88	59.7	56.54	53.44	62.03	66.57	68.01	74.18	57.85	58.33	58.59	58.75	59.21	59.62	60.6	62.28	63.55		
TiO ₂	0.7	1.14	1.09	1.41	0.81	0.54	0.3	0.2	0.68	0.96	0.73	0.5	0.64	0.45	0.1	0.83	0.9	0.65	0.85	0.64	0.68	1.22	0.76		
FeO	15.59	10.87	11.43	17.47	17.41	16.82	16.09	17.07	16.13	16.32	15.74	16.25	16.03	14.06	17.29	17.37	17.31	17.18	17.22	17.27	17.22	17.31			
F203t	6.07	6.55	7.07	7.76	5.41	3.49	1.81	2.61	4.74	4.68	5.33	6.73	7.94	6.08	2.68	2.65	7.09	5.21	6.64	6.73	5.64	6.39	7.77	6.33	
Fe203s	2.22	2.98	2.85	3.07	2.5	1.78	1.89	1.43	2.41	2.29	2.58	3.02	3.25	2.5	1.3	1.29	2.42	2.46	2.54	2.65	2.3	2.51	3.35	2.61	
Al ₂ O ₃	3.46	3.1	3.2	2.22	2.8	1.95	1.77	2.2	2.07	2.71	3.27	4.14	3.16	1.3	1.29	3.96	3.46	3.64	3.17	3.47	3.45	3.71	3.17		
MnO	0.1	0.06	0.11	0.07	0.08	0.02	0.03	0.04	0.05	0.09	0.14	0.11	0.04	0.03	0.02	0.12	0.07	0.15	0.12	0.31	0.12	0.61	0.08		
MgO	4.8	3.06	5.11	2.88	1.84	0.46	0.04	0.11	2.27	3.61	3.33	2.21	3	1.61	1.37	1.45	0.1	2.69	2.12	2.85	2.74	2.36	2.09	1.81	
CaO	6.34	6.29	8.25	7.57	4.48	2.64	2.33	1.85	3.61	5.11	6.01	4.41	5.8	5.66	3.9	3.49	1.4	7.13	6.52	6.88	6.79	5.98	7.55	5.14	
SiO ₂	3.36	4.5	3.97	4.5	3.88	8.0	4.24	3.59	4.11	4.99	7.05	6.59	4.01	4.72	4.69	3.47	3.33	3.45	3.53	3.39	3.47	3.49	3.47		
K2O	1.54	3.15	2.58	3.02	3.04	3.43	0.39	4.2	4.29	3.35	3.11	0.77	1.13	1.56	2.03	1.71	2.55	1.13	1.65	1.27	1.3	1.41	1.54	1.81	
P2O ₅	0.3	0.66	0.86	0.68	0.39	0.16	0.1	0.23	0.37	0.37	0.37	0.39	0.29	0.17	0.17	0.11	0.19	0.6	0.2	0.19	0.2	0.22	0.67	0.19	
Total	100.1	99.93	99.9	99.67	99.94	99.48	98.94	100.05	100.56	99.7	99.75	99.75	99.75	99.77	99.89	99.89	99.93	99.68	99.93	99.59	99.64	99.59	99.61	99.72	
LOI	1.01	2.02	0.81	1.24	2.3	1.59	1.13	0.37	1.45	1.45	1.45	1.45	1.45	1.45	1.45	1.45	1.45	1.45	1.45	1.45	1.45	1.45	1.45		
Ba	805	1360	1405	1255	1220	880	220	1600	1300	700	1200	295	954	1010	719	655	395	387	400	393	386	376	926		
Rb	34.8	32.8	71.7	33.3	29.7	118	6.8	140	74	95	10.8	16.1	31.5	55.1	41.8	20.8	26.5	24.4	24.3	27.7	16.5	36.4	22		
Sr	520	1175	1020	908	746	728	110.5	53	150	79	160	261	301	593	281	592	1500	345	532	514	1337	522			
V	18.7	19.7	22.2	18.9	9.8	12.1	1.9	25.7	27.8	16.9	5.4	32	17.6	8.7	15.7	17.9	15.7	15.7	15.7	15.7	15.7	15.7			
T	1.99	2.09	2.07	1.97	1.96	1.95	1.95	1.95	1.95	1.95	1.95	1.95	1.95	1.95	1.95	1.95	1.95	1.95	1.95	1.95	1.95	1.95			
Nb	12.4	35.1	34.6	15.3	14.2	12.3	4.5	13.4	12.9	9.6	10.5	10.4	26.1	8.3	23.1	9.3	7.8	7	10.5	10.5	10.5	10.5			
Th	6.76	20.7	25.9	14.1	14.65	12.45	2.54	7.72	6.85	9.3	7.1	6.93	4.27	4.87	8.6	7.14	5.04	5.09	7.33	48	26	10			
Pb	11	27	25	10	39	22	5	32	30	32	23	14	8	14	7	5	12	5	13	32	10	10			
Zn	77	84	88	224	88	66	16	5	6	6.3	105	65	84	35	35	145	82	86	75	75	75	75			
Cu	39	26	89	79	42	10	23	6	33	33	37	30	19	8	23	25	31	34	34	28.9	19.3				
Li	5	27	19	5	9	8	19	5	19	5	19	5	19	5	19	5	19	5	19	5	19				
V	113	158	153	227	113	68	35	115	163	122	48	45	213	170	126	116	150	111	109	109	109	109			
Cr	10	133	230	60	10	50	10	10	10	10	10	10	10	10	10	10	60	60	40	50	50	50			
Co	12.4	17.7	24.5	31.5	11.9	7.8	2	9.5	14	14.3	30.8	20.1	17.2	17.1	17.1	17.1	16.9	16.9	16.9	16.9	16.9	16.9			
La	29.5	73.6	58.9	51.8	39	26.8	9.4	30.1	32.1	47.7	22.3	22.5	36.5	20	49	30	22.4	22.5	32	22	16				
Ce	55	135.5	104.5	101.5	75.5	49.6	15.5	70	65.5	63.5	79.4	37.8	37.5	27.7	37.3	37.3	30	22.4	22.5	32	111	111			
Pr	0.7	15.4	15.5	15.5	6.7	0.7	0.7	45	65.5	56.5	57.7	3.7	3.7	3.7	3.7	3.7	3.7	3.7	3.7	3.7	3.7	3.7			
Nd	24.7	54.3	55.4	46.9	32.3	18.9	9.1	31	30.4	27.2	13.5	13.3	13.3	13.3	13.3	13.3	13.3	13.3	13.3	13.3	13.3				
Sm	4.77	9.03	9.73	8.85	8.04	3.05	1.94	5.74	6.34	4.23	2.22	2.18	7.06	3.61	5.16	3.64	3.45	3.72	3.98	3.98	3.98				
Eu	1.39	1.13	1.23	1.19	1.48	1.48	0.95	1.57	1.57	1.57	1.57	1.57	1.57	1.57	1.57	1.57	1.57	1.57	1.57	1.57	1.57				
Eu/Sm	2.42	7.28	8.02	7.8	5.24	2.95	2.05	5.3	5.06	5.37	5.37	5.37	5.37	5.37	5.37	5.37	5.37	5.37	5.37	5.37	5.37				
Td	0.61	0.91	1	1.07	0.73	0.34	0.34	0.6	5.06	5.64	3.79	1.75	1.76	6.53	3.15	3.66	3.28	3.33	13.37	5.22					
Tr	3.54	4.3	4.73	5.32	3.87	1.8	1.93	4.93	5.32	2.94	1.91	1.91	6.21	3.11	3.47	2.74	3.27	2.92	3.1	3.1	3.1				
Er	0.76	0.79	0.8	0.81	0.71	0.64	0.64	0.45	0.45	0.45	0.45	0.45	0.45	0.45	0.45	0.45	0.45	0.45	0.45	0.45	0.45				
Er	2.11	2	2.26	2.95	1.89	0.96	1.21	2.85	3.02	1.79	0.57	0.58	3.29	1.99	1.99	1.99	1.99	1.99	1.99	1.99	1.99				
Tm	0.31	0.28	0.32	0.42	0.28	0.15	0.2	0.48	0.49	0.28	0.09	0.09	0.49	0.3	0.13	0.24	0.31	0.28	0.24	0.24	0.24				
Yb	2.02	1.54	1.87	2.46	1.88	0.68	1.31	3.15	3.15	2.97	1.7	1.7	0.44	0.44	0.43	0.43	0.43	0.43	0.43	0.43	0.43				
Lu	0.34	0.23	0.25	0.37	0.29	0.15	0.2	0.19	0.2	0.16	0.14	0.14	0.44	0.44	0.27	0.27	0.27	0.27	0.27	0.27	0.27				

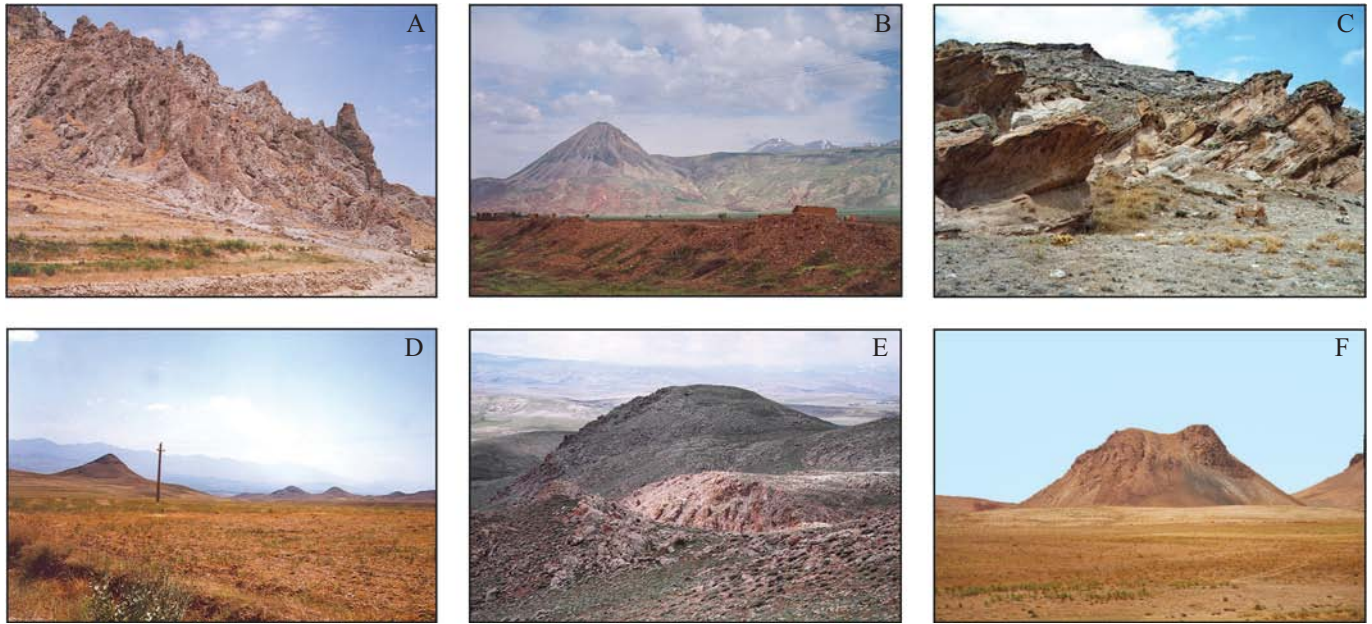
جدول ۱- ترتیب تقریبی پوسته قاره‌ای در مقایسه با ترکیب میانگین

آندزیت‌ها

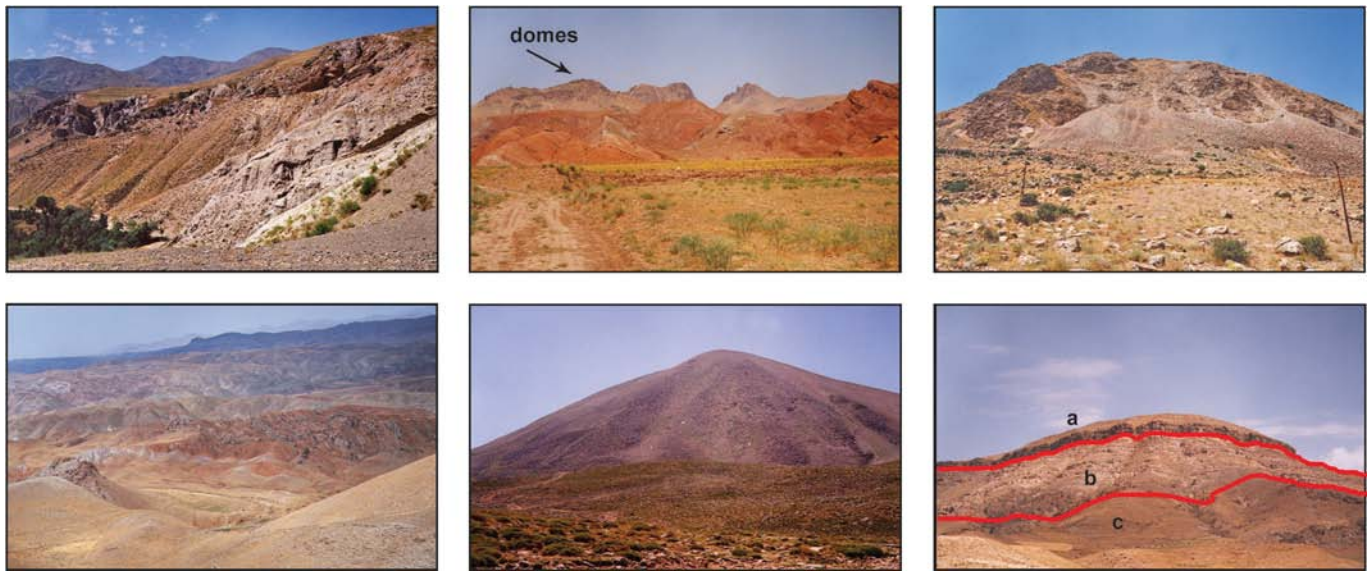
آندزیت‌ها	پوسته قاره‌ای	آندزیت‌ها
SiO ₂	61/9	58/9
TiO ₂	0/8	0/9
Al ₂ O ₃	15/6	17/2
Fe ₂ O ₃	2/6	3/3
FeO	3/9	4/3
MgO	3/1	3/4
CaO	5/7	6/9
Na ₂ O	3/1	3/5
K ₂ O	2/9	1/7



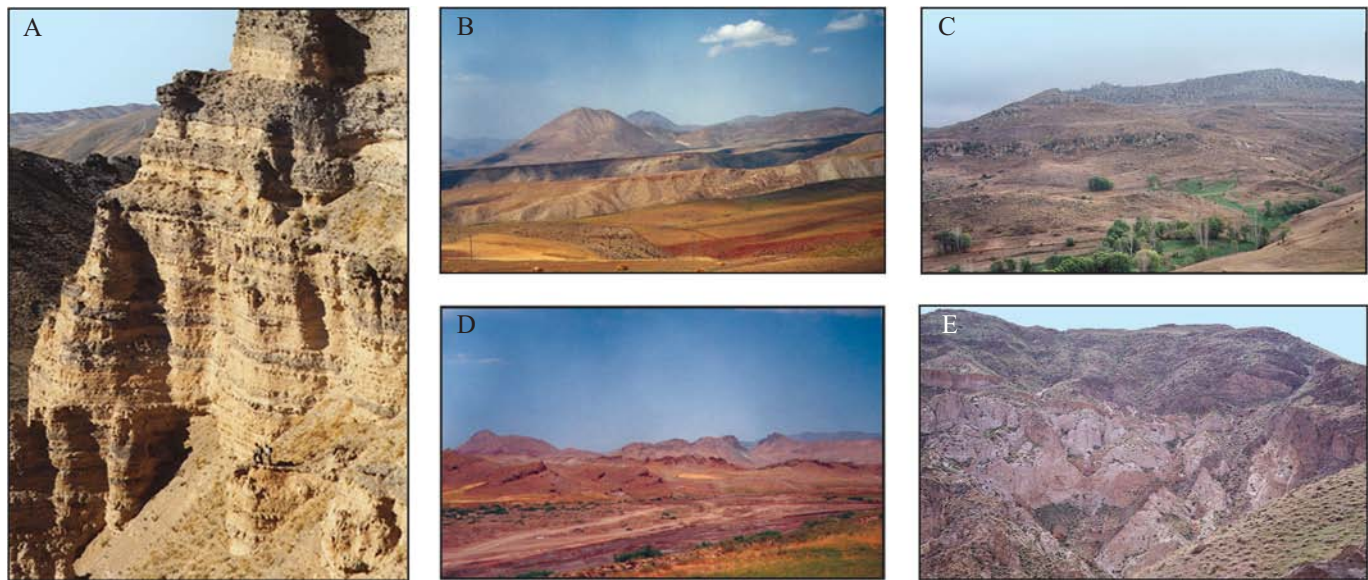
شکل ۱- نقشه رخمنون‌های آتشمندی پلیو-کواترنر آذربایجان شرقی و غربی (شمال باختر ایران)



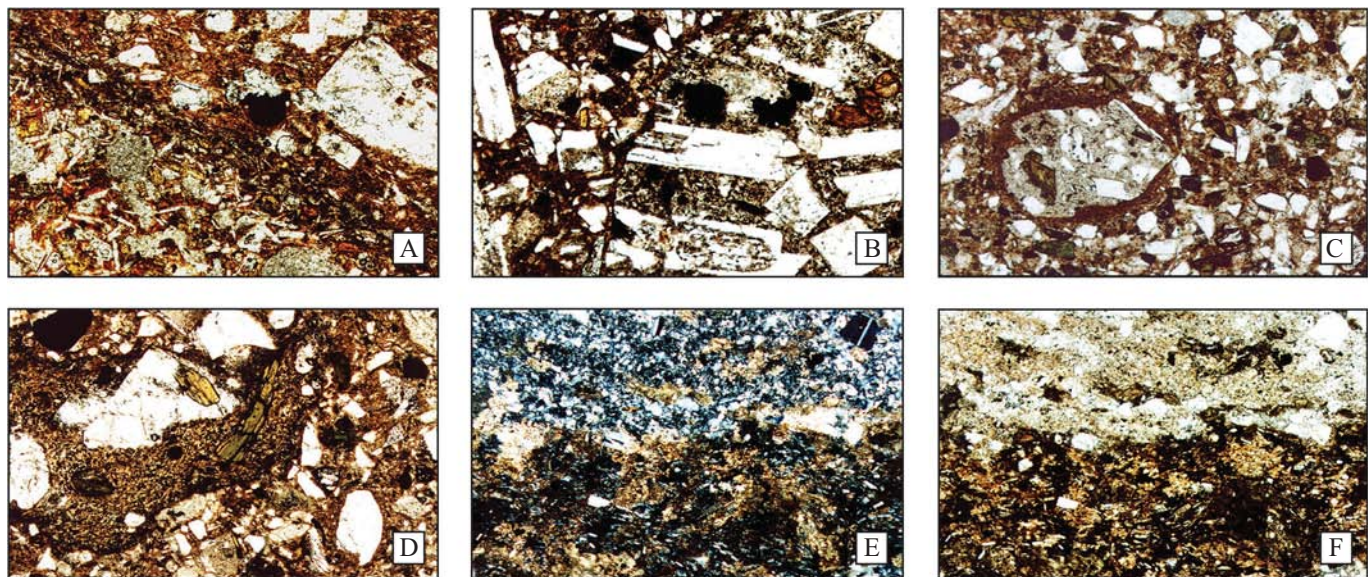
شکل ۲ - نمایی از واحدهای آتشفسانی کلسمی-قلیابی پلیو-کواترنر آذربایجان. (A) واحدهای آندزیتی منور در شمال تبریز-دید به سمت شمال خاور. (B) گنبد گچی قلعه سی در باختر مرند- دید به سمت جنوب باختر. (C) واحدهای آذرآواری سراب- سرعین- دید به سمت شمال باختر. (D) گنبدی (دم) ریو داسیتی در بناب و کوهناب مرند- دید به سمت شمال خاور. (E) گنبدی آندزیتی در جاده اهر- ورزقان- دید به سمت خاور. (F) گنبد قلعه لر در جاده تبریز- اهر (منطقه خواجه)- دید به سمت خاور.



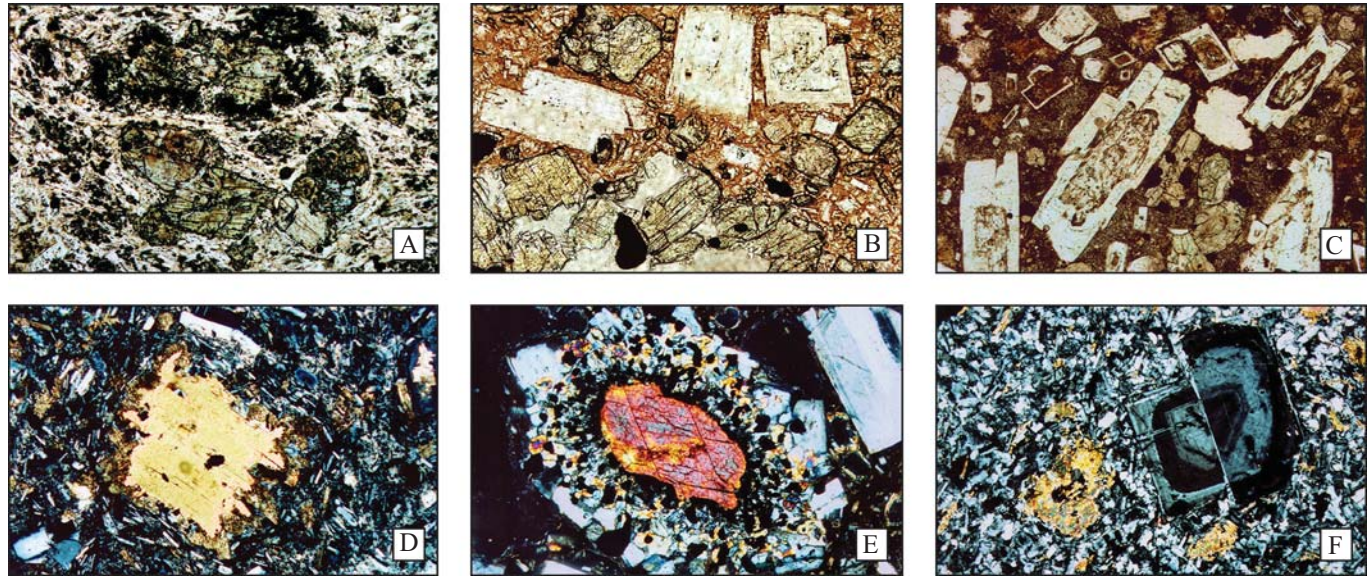
شکل ۳-نمایی از واحدهای آتشفسانی کلسمی-قلیابی پلیو-کواترنر آذربایجان. (A) واحدهای آذرآواری در روستای انامک در جنوب باختر مرند- دید به سمت جنوب باختر. (B) دم های نیمه آتشفسانی قلعه لر در شمال خاور تبریز- دید به سمت شمال خاور. (C) گنبد محبوب آباد واقع در جنوب باختر مرند- دید به سمت جنوب باختر. (D) گنبد بهلول در شمال تبریز- نفوذ گنبد و قطع رسوبات سرخ بالای میوسن- دید به سمت جنوب. (E) گنبد داسیتی در منطقه سهند (متنق) واقع در جنوب تبریز- دید به سمت جنوب. (F) نمایی از سری آتشفسانی معکوس منطقه منور در شمال تبریز- (a) اولین بازالت قلیابی- (b) آذرآواری ها- (c) آندزیت- دید به سمت شمال



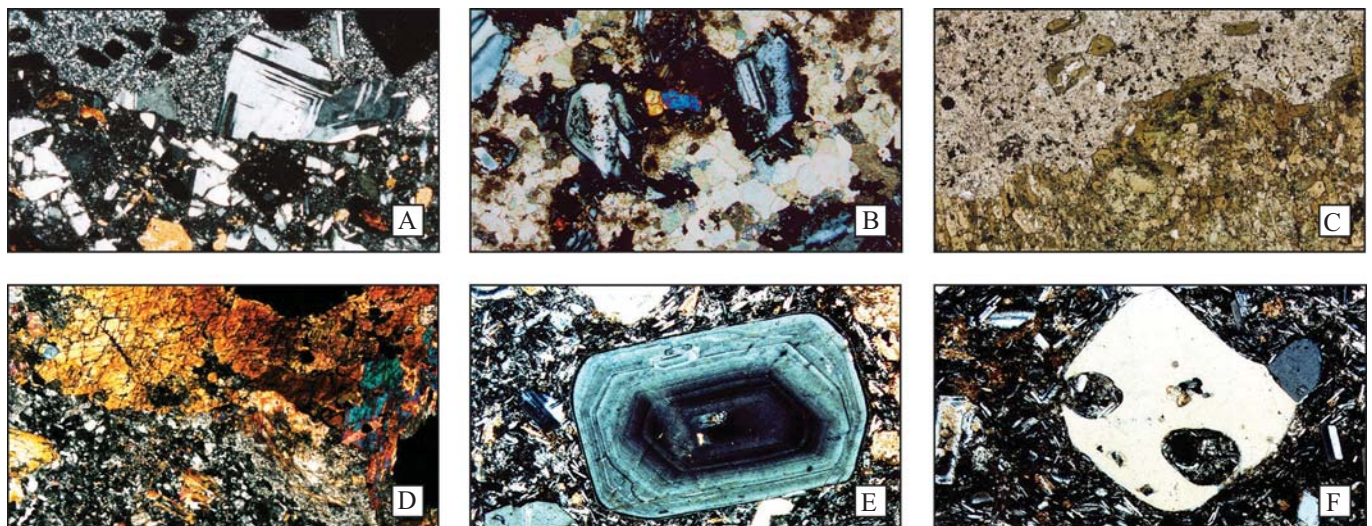
شکل ۴ - نمایی از واحدهای آتشفشاری کلسیمی - قلایابی پلیو- کواتر نر آذربایجان (A) واحدهای آذرآواری پلیوسن در منطقه شمال منور (ایوند) در شمال تبریز - دید به سمت شمال. (B) گنبدهای نیمه آتشفشاری منطقه زنوز واقع در شمال مرند - دید به سمت شمال خاور. (C) گدازهای آندزیتی منطقه سراب - دید به سمت شمال. (D) گنبدهای خطی شکل قلعه لر در شمال تبریز که از یک روند خطی پیروی می کند - دید به سمت شمال خاور. (E) واحدهای آذرآواری و آندزیتی کشکسرای در جنوب باختر مرند - دید به سمت جنوب باختر.



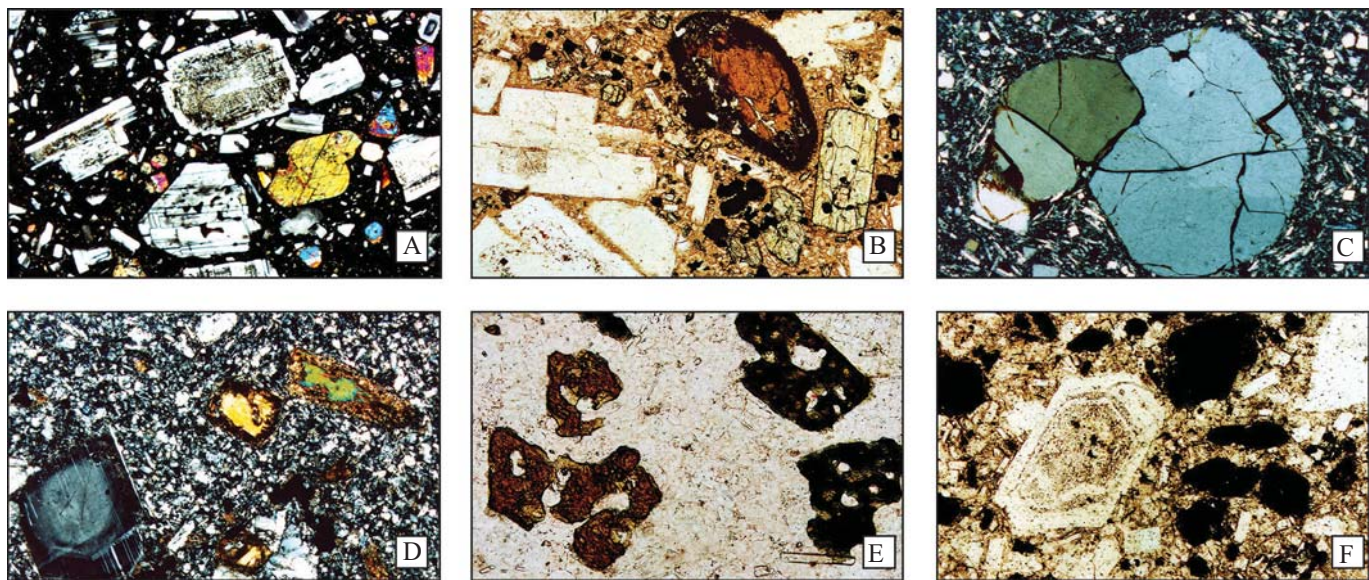
شکل ۵ - (A) آثار آمیختگی ماگمای بازی و اسیدی با دو بافت متفاوت - (PPL , 40x)، منطقه اهر. (B) آثار آمیختگی ماگمایی - پلاژیو کلازهای زون بنده شده و آمفیولوگی های حاشیه سوخته در بخش تیره - (PPL , 40x)، منطقه مرند. (C) آثاری از هضم میانبارهای هم منشأ - سنگی - بلوری (لیتیک کریستال)، توف - قطعه سنگی (لیتیک) با حاشیه اکسیده - (PPL , 40x)، منطقه مرند. (D) آثاری از برخورد دونوع مذاب با بافت و کانی شناسی متفاوت - (PPL , 40x)، منطقه مرند. (E) هضم قطعاتی از سنگهای آهکی و شیلی در یک مذاب بازیک - (PPL , 40x)، منطقه زنوز. (F) هضم قطعاتی از آهک و شیل در داخل گدازه های آندزیتی، بخش روشن آهک و بخش های تیره شیل می باشد - (PPL , 40x)، منطقه زنوز.



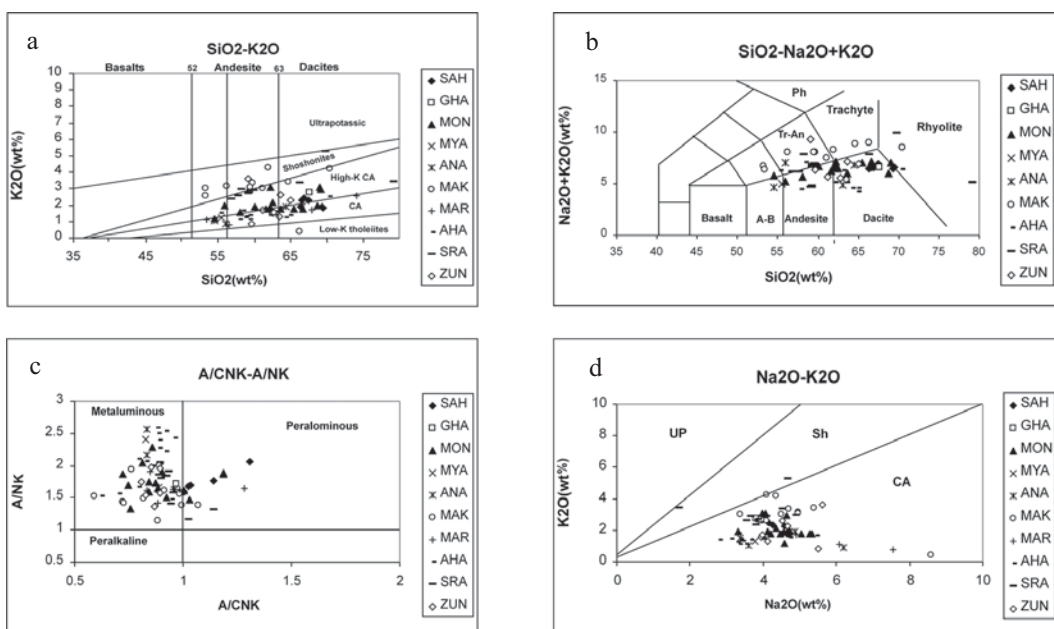
شکل ۶ - (A) بافت میکرولیتی پورفیری، جهت دار شدن میکرولیت‌ها در اطراف آمفیبول‌ها و حاشیه کدر- (PPL , 40x)، منطقه امامک.(B) بافت پورفیری ، خوردگی و انحلال در پلازیوکلازها-(PPL , 40x)، گنبدهای آندزیتی منطقه امامک مرند.(C) بافت پورفیری و زون‌بندی در پلازیوکلازها و بافت باختراالی در مرکز بلورها-(PPL , 40x)، منطقه امامک مرند.(D) آمفیبول با حاشیه خورده شده در نمونه آندزیتی-(PPL , 40x)، منطقه زنوز در شمال مرند.(E) آمفیبول با حاشیه کدر و آزاد شدن اکسید آهن، فلدسپار و کوارتز-(PPL , 40x)، منطقه امامک.(F) پلازیوکلاز با زون‌بندی نوسانی، بافت پورفیری با زمینه ریز بلور از کوارتز و پلازیوکلاز، آمفیبول‌های بی‌شکل-(PPL , 40x)، گنبدهای آشناشانی بهلول در شمال تبریز.



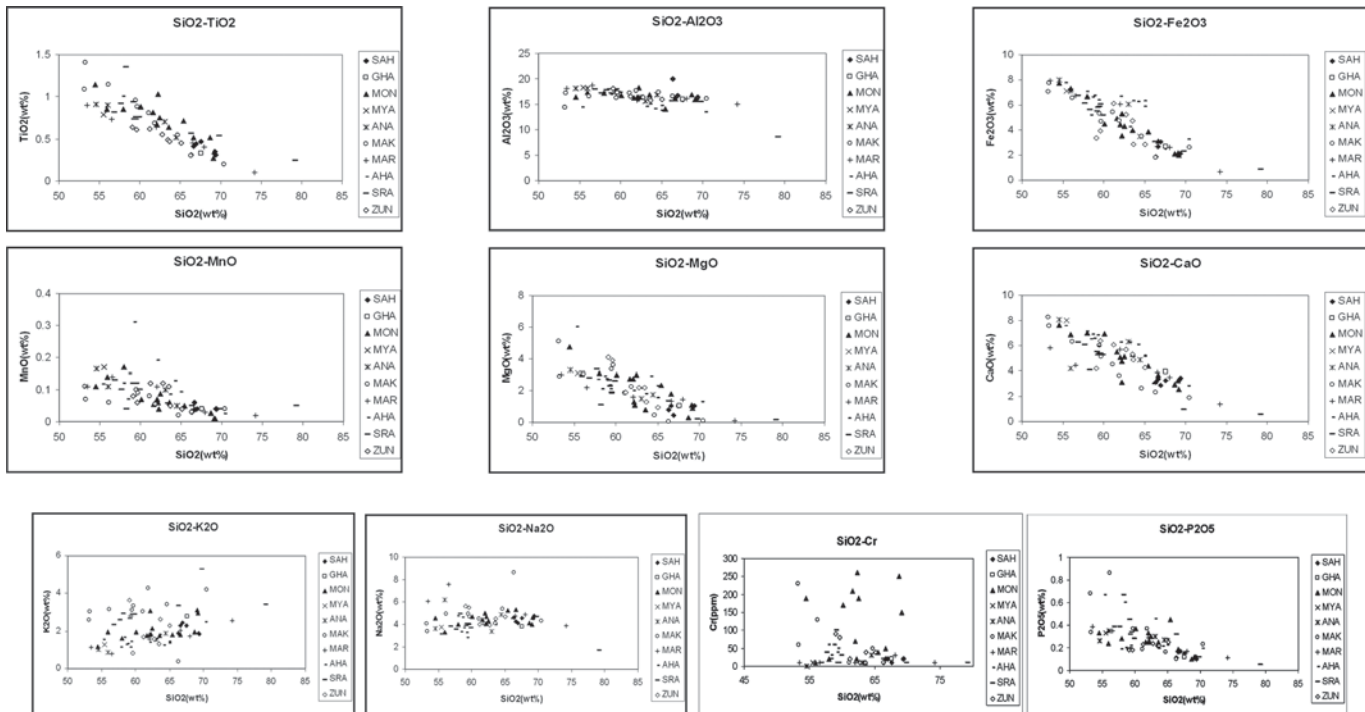
شکل ۷ - (A) قرار گرفتن یک قطعه بیگانه‌سنگ داسیتی در مذاب آندزیت بازالتی - (PPL , 40x)، واقع در قره په در زنوز. (B) بلور بلورهای کلسیت در خمیره و حد فاصل بلورها، هضم مواد آهکی توسط مذاب آندزیت بازالتی-(PPL , 40x)، در منور واقع در شمال تبریز. (C) قرار گرفتن یک قطعه بیگانه‌سنگ آمفیبولیتی ریزبلور در درون گنبدهای آندزیتی محبوب آباد در جنوب باختراالی مرند-(PPL , 40x)، منطقه زنوز در حال اتحلال-(PPL , 40x)، در محبوب آباد مرند. (D) درشت بلور شکل دار پلازیوکلاز با ساختار زون‌بندی شده - (PPL , 40x)، منطقه زنوز. (E) درشت بلور کوارتز با خوردگی خلیجی و بافت باختراالی (غربالی) به همراه پلازیوکلاز در داسیت-(PPL , 40x)، منطقه زنوز. (F) درشت بلور کوارتز با خوردگی خلیجی و بافت باختراالی (غربالی) به همراه پلازیوکلاز در داسیت-(PPL , 40x)، منطقه زنوز.



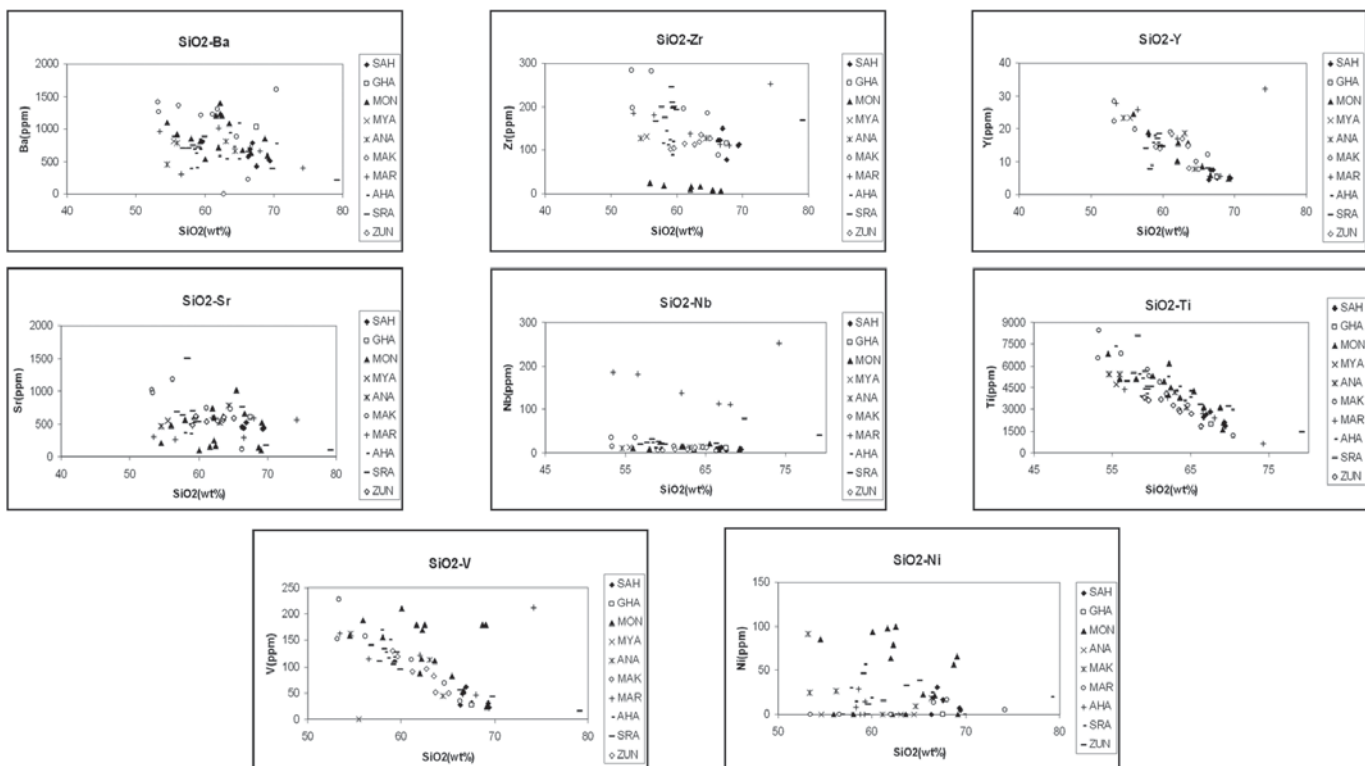
شکل ۸ - (A) بافت هیالوپورفیری، پلازیوکلاز با بافت باخترا لی و آمفیبولهای شکل دار-(PPL , 40x), از منور. (B) بافت پورفیری، آمفیبولهای حاشیه سوخته، منطقه انامک در جنوب باخترا مند. (C) درشت بلور کوارتز با حواشی گرد شده در داسیت-(PPL , 40x), منطقه کوهناب در خاور مند. (D) درشت بلورهای بیوتیت با حاشیه کدر و سوخته و پلازیوکلازهای زون بنده شده-(PPL , 40x), داسیت های منطقه بناب در خاور مند. (E) آمفیبولهای خودگی های خلیجی شکل و بلورهای مدادی شکل آپاتیت در آندزیت -(PPL , 40x), منطقه کلیر. (F) آمفیبولهای ریخت نما شده (پسودومرف) با اکسید آهن و پلازیوکلازهای زون بنده شده با بافت باخترا لی در آندزیت-(PPL , 40x), منطقه اهر.



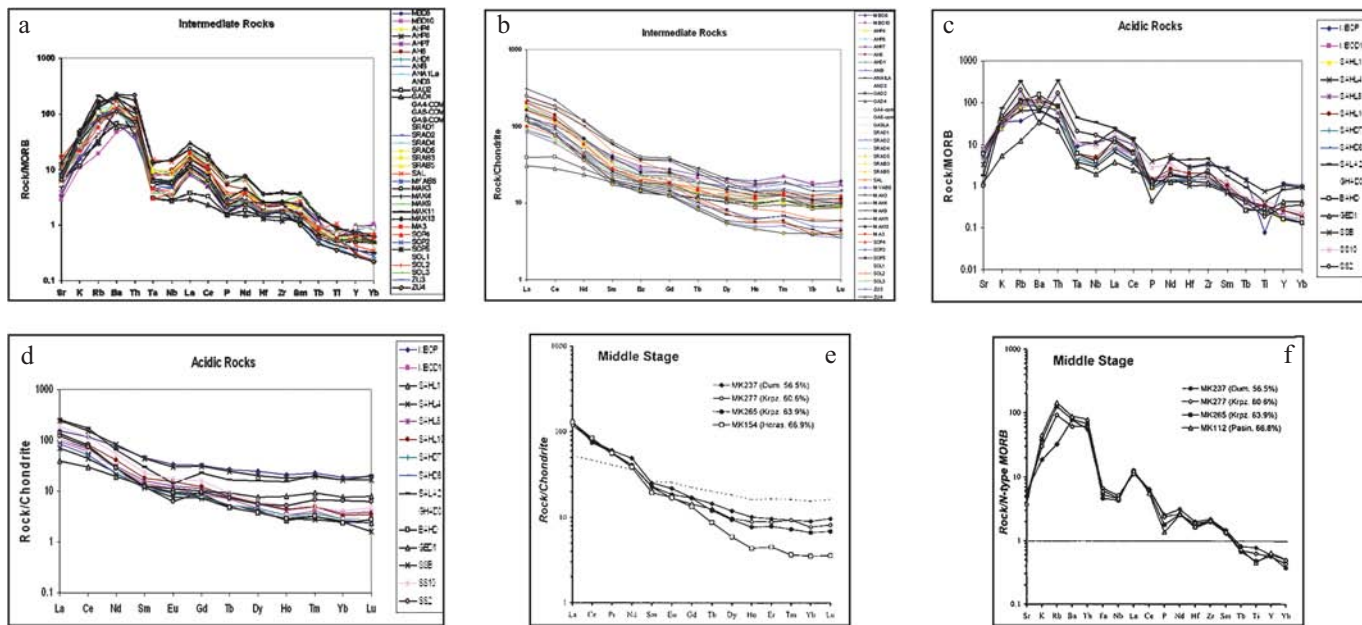
شکل ۹ - (a) رده بندی سنگ های آتشفسانی کلسیمی-قلایی پلیو کواترن آذربایجان در نمودار پیشنهادی Peccerillo & Taylor (1976) (b) رده بندی شیمیایی نمونه های مورد مطالعه بر اساس نمودار پیشنهادی (1979). (c) نمودار پیشنهادی Le Bas & Le maitre (1989). (d) نمودار $\text{Na}_2\text{O}-\text{K}_2\text{O}$ پیشنهادی Shand (1979). موقعیت نمونه های مورد مطالعه در آن. Middlemost (1975).



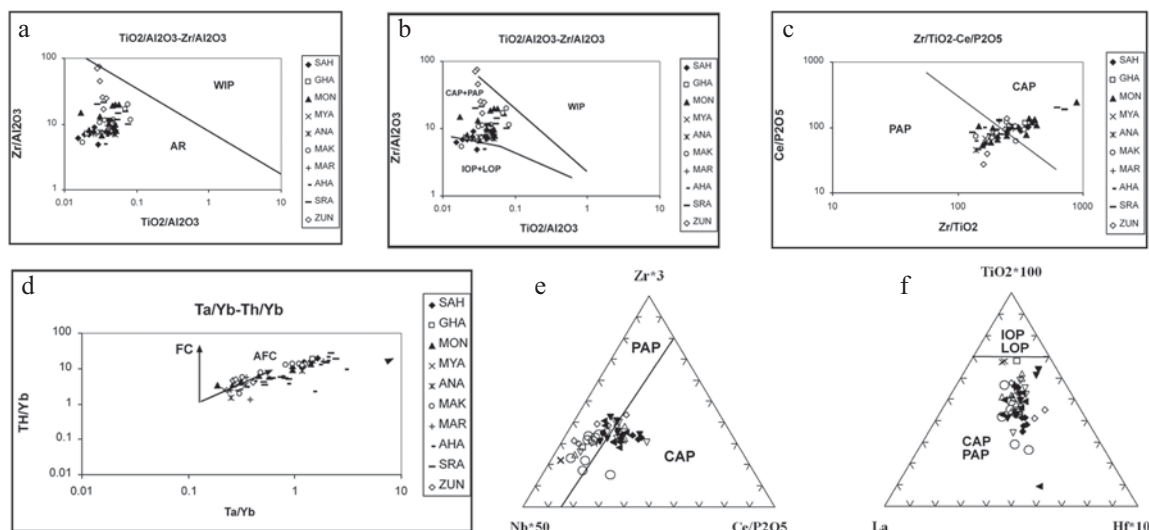
شکل ۱۰ - تغییرات اکسیدهای عناصر اصلی در برابر SiO_2 برای سنگ‌های آتشفشانی کلسیمی-قلیایی پلیو-کواتر نر آذربایجان.



شکل ۱۱- تغییرات عناصر Cr, V, Ni (عناصر تحولی) و سایر عناصر کمیاب در برابر SiO_2 برای سنگ‌های آتشفشانی حدوداً سطح پلیو-کواتر نر آذربایجان.



شکل ۱۲- مقایسه نمودارهای عنکبوتی و تغییرات عناصر خاکی کمیاب سنگ‌های آتشفسانی کلسیمی- قلیایی پلیو- کواترنر آذربایجان با فلات کارس- ارز روم در خاور ترکیه، a، b و c و d) (نمودارهای مربوط به آذربایجان) و e و f) (نمودارهای مربوط به خاور ترکیه (Keskine et al., 1998)). نمودارهای a و b برای سنگ‌های آندزیتی و تراکی آندزیتی رسم شده و در نمودارهای c و d سنگ‌های داسیتی و ریوداسیتی و ریولیتی در نظر گرفته شده است. نمودارهای مناطق نشان داده شده کاملاً شبیه هستند. علاوه به کار رفته در نمودارها به شرح زیر است. MB (مرند- محجوب آباد) - AH (اهر) - AN (مرند، امامک) - GA (قره تپه ، زنوز) - SRA (سراب) - MYA (میانه) - MAK (مرند کشکسرای) - MA (مرند) - SOP (شهرل، شمال تبریز) - ZU (زنوز) - MON (منور) - (سنهنده) - MBO (مرند، بناب) - BAH (بهلول داغی) - ANA (امانک) - SS (سراب، سرعین) - GED (گندگچی قلعه سی) - SAH



شکل ۱۳ - a) تفکیک موقعیت درون صفحه و کمان‌های آتشگشانی در نمودارهای پیشنهادی (1997) Muller & Groves .
 b) تفکیک کمان‌های آغازین و تأخیری (LOI-LOP) از حواشی فعال قاره‌ای و کمان‌های پس‌برخوردي (PAP+CAP) و موقعیت درون صفحه‌ای (WIP).
 c,e) تفکیک حواشی فعال قاره و کمان‌های پس‌برخوردي. d) نمودار پیشنهادی (AFC) در نمونه‌های مورد مطالعه.

References

- Aramaki , S. , Ui , T. ,1982-Japan , pp. 259-92 in Thorpe (1982).
- Ewart, A. , Stipp , J.J., 1968- Petrogenesis of the volcanic rocks of the central North Island , New Zealand as indicated by a study of Sr87/ Sr86 ratio, and Sr,Rb,K,U and Th abundances. G.C.A. 32,699-736.
- Gill, j., 1981- Orogenic Andesites and Plate tectonics. Springer, 390 pp.
- Green , H., 1982- Anatexis of mafic crust and high pressure crystallization of andesite , pp. 465-87 in Thorpe (1982).
- Harmon , R. S. & 8 co- authers,1984- Regional Q., Sr., and Pb- isotope relationships in late Cenozoic calc-alkaline lavas of the Andean Cordillera. J. Geol. Soc. Lond. 141, 803-22.
- Ishizaka , K., Carlson , R. W., 1983- Nd – Sr systematics of the Setouchi volcanic rocks , south – west Japan : a clue to the origion of orogenic andesites, E.P.S.L. 64, 327-40.
- Karapetian, S.G., Jrbashian, R.T., Mnatsakanian, A.K. H., 2001- Late collision rhyolitic volcanism in the north-eastern part of the Armenia highland. Journal of Volnanogy and geothermal Research 12, 189-220-
- Keskine, M. , Pearce, J. A. , Mitchell , J.g. , 1998- Volcano – Stratigraphy and geochemistry of Collision – relatd Volcanism on the Erzrum – kars Plateau, northeastern Turkey. J. of Volcanology
- Le Bas, M. j., Le maitre, R. W., Streckeisen, A., Zanettin, B., 1986- A chemical classification of Volcanic rocks based on the total alkal – silica diagram. J Petrol 27,745-750
- Le Maitre, R.W., Bateman, P., Dudek, A., Keller, J., Le Bas, M.J., Sabine, P.A., Schmid , R., Sorenson, H., Streckeisen, A., Wooly, A.R., Zanettin, B., 1989- A classification of Igneous Rocks and Glossary of Terms. Blackwell, Oxford, 193 pp.
- Mccurt, W.J., Atherton, M. P., Sanderson, L. M., Warden, V., 1985- The volcanic cover chemical composition and the origion of the magma of the calipuy. (In magmatism at a plate edge) .273-284-
- McDonough, W.F. , Sun, S. , Ringwood, A.F. , Jagoutz, E. & Hofmann, A.W., 1991 - K , Rb, and Cs in the earth and moon and the evolution of the earth,s majtle. Geochim. Cosmochim. Acta, Ross Taylor Symposium Volume.
- Middlemost, E. , A. K., 1975 - The Basalt Clan. Earth-Science Reviews, 11, 337-364.
- Muller, D., Groves, D.I.,1997-Pottasic rocks and associated gpld-copper mineralization,Sec. Updated. Springer-Verlag.242 pp.
- Pearce, J.A., Bender, J.F., De Long, S.E., Kidd, W.S.F., Low, P.J., Guner, Y., Saroglu, F., Yilmaz, Y., Morbath, S., Mitchell, J.J., 1990- Genesis of collision volcanism in eastern Anatolia Turkey. J. Volcano. Geothem. Res. 189-229.
- Pearce, J. A., 1983- Role of the sub – continental lithosphere in magma genesis at active Continental margines, In: Hawkes worth, C. J., Norry, M. J. (Eds). Continental Basalts and Mantle Xeno- lites – Shira, Nontwich, PP. 230-249-
- Peccerillo, A., Taylor, S. R., 1976a- Geochemistry of Eocana Calc – alkaline volcanic rocks from the Kastomonon area northern turkey. Contrib. Mineral . Petrol . , No . 58 , 63-81.5
- Pichler, H. , Zeil , W., 1972-The Cenozoic rhyolite- andesite association of the Chilean Andes , Bull. Vol. 35-424-52-
- Rollinson, H. , 1993- Using geochemical data: evaluation. Presentation , interpretation. Singapore. Ongman, 352 p.
- Ryabchikov, I.D., Babansky, A. D. & Dmitriev, Y. L., 1982- Genesis of calc – alkaline magmas : experiments with partial melting of mixed sediments and basalts from the Middle America trench , Southern Mexico transect , Init. Rep. Deep Sea Drilling Proj. 66,669-702.
- Shand , S.J., 1979- Eruptive rocks, their genesis, composition, classification and their relation to ore deposite. John Wiley and Sons, 448p.
- Stern, R. J. & ITO, E., 1983- Trace element and isotopic constraints on the source of magmas in the active Volcano and Mariana island arcs. Western Pacific , J. Vol. Geotherm. Res. 18. 461-82.